

Temporal-spatial modeling of precipitation using an approach based on MLR, ANN, HBA-ANN hybrid algorithm

Kimia Zehsaz¹ , Sabereh Darbandi^{2*} , Ehsan Mirzania³ 

¹ M.Sc. Student, Department of Water Engineering, Faculty of Agriculture, University of Tabriz, Tabriz, Iran

² Associate Professor, Department of Water Engineering, Faculty of Agriculture, University of Tabriz, Tabriz, Iran

³ Former M.Sc. Student, Department of Water Engineering, Faculty of Agriculture, University of Tabriz, Tabriz, Iran

Extended Abstract

Introduction

Life on Earth is influenced by precipitation. Precipitation is one of the most significant factors that affect the hydrological cycle. Considering that precipitation is non-linear, complex, and can be changed according to spatial and temporal, estimating the amount of this important atmospheric factor in each month or year for each region and watershed is particularly important in managing and optimizing water resources. Various optimization models and algorithms have been proposed for modeling hydrological systems in recent decades. These algorithms have significantly reduced errors and increased accuracy. Still, since hydrological systems rely on random events, none of the methods can be completely and accurately selected as a superior model for modeling and estimating. The honey badger algorithm is an innovative algorithm that requires a few iterations to achieve an optimal solution, and this increases the speed of reaching the desired results. In current study investigates the performance of three models, including multiple linear regression (MLR), artificial neural network (ANN), and hybrid artificial neural network with honey badger optimization algorithm (HBA-ANN) for modeling the temporal and spatial precipitation in East Azarbaijan province. The best-developed model was selected by evaluation criteria such as R, RMSE, NRMSE, MBE, and NSE, the best model is selected.

Materials and Methods

The MLR model is one of the methods to analyze and investigate several variables. In this method, the model has one dependent variable and several independent variables, so that a linear equation is generated between the independent variables called X₁, X₂, ..., X_n and the dependent variable Y. ANN is a black box model of neural networks in the human brain. One of the most used methods is the BP method, which includes two stages. In the first stage, which is entitled feed-forward, the error value is calculated, after comparing output and objective values. In the second stage, which is labeled the back-propagation, the error value calculated in the previous step is corrected. The mentioned two stages continue until the output of the model approaches the desired output. The HBA is a new algorithm that simulates the honey-seeking behavior of a creature called the honey badger. The HBA includes two stages. In the first phase, the locations of this creature are calculated, and in the second phase, the exact distance between the HBA and the prey (d_j) is calculated based on the honey intensity (S) and the honey smell intensity (I_j), as well as its new and optimal location for the prey X_{new}. In the HBA-ANN model, the HBA algorithm is used to determine the most optimal output value in the ANN and increase performance in modeling. Therefore, the developed hybrid model can have the characteristics of both ANN and HBA methods.

Results and Discussion

In this study, in the first stage, the temporal modeling, and in the second stage, the spatial modeling of the monthly precipitation of 18 stations in East Azarbaijan province during the period of 1996-2022 using MLP, ANN, and HBA-ANN models has been paid. For temporal modeling of precipitation, one and two-month precipitation delay steps of the stations were used as input parameters. The first 70% of the dataset was selected for the training phase and the last 30% of the dataset was selected for the testing phase. Based on the results obtained from evaluation criteria and graphic diagrams, it can be concluded that the HBA-ANN model indicated significant accuracy compared to other models in the temporal modeling of precipitation. Also, by comparing the results of the stations in the HBA-ANN model, the Heris station with R = 0.94, RMSE=2.25, NSE=0.79,

NRMSE=0.04, and MBE=1.06 in the testing stage performed better compared with other stations. For spatial modeling of precipitation, the geographic coordinates of the stations, which include longitude, latitude, and altitude, are used as input parameters, and average monthly precipitation is used as the output parameter. From eighteen stations, 70% of the stations were selected for the training phase and 30% of the stations were selected for the testing phase. Based on the results obtained from R=0.95, RMSE=1.03, NSE = 0.92, NRMSE = 0.03, and MBE = -0.81 and graphical diagrams, it can be concluded that the HBA-ANN model revealed significant accuracy compared to other models in spatial modeling of precipitation.

Conclusion

Precipitation is one of the most important factors that significantly change the hydrological cycle. Therefore, modeling and estimating this parameter is vital. In this study, the performance of multiple linear regression (MLR), artificial neural network (ANN), and hybrid ANN using honey badger algorithm (HBA-ANN) models were used for the spatial and temporal modeling of precipitation in East Azarbaijan province. For spatial modeling, the time delay steps of one and two months of station precipitation were selected as input parameters. Also, for temporal modeling, the longitude, latitude, and altitude parameters were used. The mentioned models were evaluated by R, RMSE, NSE, NRMSE, and MBE assessment criteria. According to the results of temporal modeling, the HBA-ANN model for all stations, especially Heris station with R equal to 0.94, RMSE equal to 2.25, NSE equal to 0.79, NRMSE equal to 0.04, and MBE equal to 1.06 is selected as the superior model. Also, based on the results obtained from spatial modeling, the HBA-ANN model with R equal to 0.95, RMSE equal to 1.03, NSE equal to 0.92, NRMSE equal to 0.03, and MBE equal to -0.81 was selected as the best model. The MLR and ANN models, respectively, presented a relatively poor performance compared to the developed hybrid model.

Keywords: Artificial neural network, Hybrid artificial neural network and honey badger algorithm, Isohyet curve, Multiple linear regression, Thiessen polygon

Article Type: Research Article

Acknowledgment

The authors express their gratitude to the East Azarbaijan Meteorological Organization for their help in collecting the necessary data.

Conflicts of interest

The authors of this article declared no conflict of interest regarding the authorship or publication of this article.

Data availability statement

All data obtained are included in the paper and more data sets will be available through correspondence with the corresponding author.

Authors' contribution

Kimia Zebsaz: Conceptualization, software, writing, original draft preparation; **Sabereh Darbandi:** Supervision, manuscript editing, final editing; **Ehsan Mirzania:** Conceptualization, software.

*Corresponding Author, E-mail: sdarbandi.tabrizu@yahoo.com

Citation: Zebsaz, K., Darbandi, S., & Mirzania, E. (2024). Temporal-spatial modeling of precipitation using an approach based on MLR, ANN, HBA-ANN hybrid algorithm. *Water and soil Management and Modeling*, 4(3), 113-132.
DOI:10.22098/mmws.2023.12779.1273

Received: 25 April 2023, Received in revised form: 19 May 2023, Accepted: 20 May 2023, Published online: 20 May 2023
Water and Soil Management and Modeling, Year 2024, Vol. 4, No. 3, pp. 113-132

Publisher: University of Mohaghegh Ardabili

© Author(s)





مدل‌سازی و مدیریت آب و خاک

شایان اکترونیکی: ۲۷۸۳-۲۵۴۶



مدل‌سازی زمانی و مکانی بارش با استفاده از ANN، MLR و الگوریتم هیبریدی HBA-ANN

کیمیا زهساز^۱، صابرہ دربندی^{۲*}، احسان میرزائی^۳

^۱دانشجوی کارشناسی ارشد، گروه مهندسی آب، دانشکده کشاورزی، دانشگاه تبریز، تبریز، ایران

^۲دانشیار، گروه مهندسی آب، دانشکده کشاورزی، دانشگاه تبریز، تبریز، ایران

^۳دانش آموخته کارشناسی ارشد، گروه مهندسی آب، دانشکده کشاورزی، دانشگاه تبریز، تبریز، ایران

چکیده

مدل‌سازی و برآورد بارندگی، یکی از مسائل مهم و اساسی در زمینه هیدرولوژی است. بهمنظور کاهش خطا در زمینه مدل‌سازی از الگوریتم‌های جدید و متنوعی که در علوم مهندسی و کامپیوتر ارائه شده‌اند، استفاده شد. این موضوع در هیدرولوژی بسیار کارآمد است. این الگوریتم‌ها بهمنظور دستیابی به یک جواب بهینه، به تعداد کمی تکرار نیاز دارند و همین امر موجب افزایش سرعت در رسیدن به نتایج مورد نظر می‌شود. در این پژوهش از سه مدل MLR، ANN و هیبرید HBA-ANN بهمنظور مدل‌سازی زمانی و مکانی بارش استان آذربایجان شرقی طی بازه زمانی ۱۹۹۶-۲۰۲۲ استفاده شد. بدین‌منظور، در مرحله اول از گام‌های تأخیر زمانی یک ماهه و دو ماهه بارش، به عنوان متغیر ورودی در مدل‌سازی زمانی و در مرحله دوم از متغیرهای طول جغرافیایی، عرض جغرافیایی و ارتفاع جغرافیایی به عنوان متغیر ورودی در مدل‌سازی مکانی استفاده شد. جهت بررسی عملکرد تکنیک‌های مورد استفاده در پژوهش از پنج شاخص آماری R، RMSE، NRMSE، MBE-NSE، NRMSE استفاده شد. علاوه‌بر این، برای برآورد مقدار بارش در مناطقی از استان که فاقد ایستگاه باران سنجی هستند از روی داده‌های ایستگاه‌های موجود، از روش‌های دون‌پایی هم‌باران و پلیگون تیسن استفاده شد. در نهایت، طبق نتایج بدست آمده از هر سه مدل در مدل‌سازی زمانی، هیبرید HBA-ANN عملکرد بهتری نسبت به مدل‌های MLR و ANN از خود نشان داد. همچنین، با توجه به نتایج مدل هیبریدی HBA-ANN، ایستگاه هریس با R برابر با ۰/۹۴ و RMSE برابر با ۰/۲۵ و ضریب NSE برابر با ۰/۷۹ و NRMSE برابر با ۰/۰۴ و MBE برابر با ۰/۰۶ در مرحله آزمون عملکرد بهتر نسبت به سایر ایستگاه‌ها در مرحله آزمون ارائه داد. براساس نتایج بدست آمده از مدل‌سازی مکانی، مدل هیبریدی HBA-ANN با R برابر با ۰/۹۵ و RMSE برابر با ۰/۰۳ NSE برابر با ۰/۹۲ و NRMSE برابر با ۰/۰۳ و MBE برابر با ۰/۸۱ دقت قابل توجهی در مدل‌سازی مکانی بارش از خود نشان داد و مجدداً به عنوان مدل پیشنهادی انتخاب می‌شود. در این پژوهش، با توجه به صحت بالای مدل هیبریدی- HBA- ANN در مطالعات آتی پیشنهاد می‌شود، از این مدل در زمینه مدل‌سازی تخریب، دما و غیره استفاده و نتایج ارزیابی شود.

واژه‌های کلیدی: پلیگون تیسن، رگرسیون خطی چندگانه، شبکه عصبی مصنوعی، منحنی هم‌باران، هیبرید شبکه عصبی مصنوعی و گورکن عسل‌خوار

نوع مقاله: پژوهشی

* مسئول مکاتبات، پست الکترونیکی: sdarbandi.tabrizu@yahoo.com

استناد: زهساز، کیمیا، دربندی، صابرہ، و میرزائی، احسان (۱۴۰۳). مدل‌سازی زمانی و مکانی بارش با استفاده از ANN، MLR و الگوریتم هیبریدی

HBA-ANN. مدل‌سازی و مدیریت آب و خاک، (۳)، ۱۱۳-۱۳۲.

DOI: 10.22098/mmws.2023.12779.1273

تاریخ دریافت: ۱۴۰۲/۰۵/۰۷، تاریخ بازنگری: ۱۴۰۲/۰۷/۲۹، تاریخ پذیرش: ۱۴۰۲/۰۷/۳۰، تاریخ انتشار: ۱۴۰۲/۰۷/۳۰

مدل‌سازی و مدیریت آب و خاک، سال ۱۴۰۳، دوره ۴، شماره ۳، صفحه ۱۱۳ تا ۱۳۲

ناشر: دانشگاه محقق اردبیلی © نویسنده‌گان



۱- مقدمه

حیات روی زمین، تحت تأثیر بارش قرار گرفته و به عنوان یک عنصر کلیدی، یکی از مهم‌ترین عاملی است که به طور مستقیم چرخه هیدرولوژی را تغییر می‌دهد (Beheshti et al., 2016). اما با در نظر گرفتن این که بارش، غیرخطی، پیچیده و با توجه به موقعیت‌های زمانی و مکانی قابل تغییر است، لذا برآورد این متغیر مهم جوی حائز اهمیت است (Poursalehi et al., 2019). در دهه‌های اخیر مدل‌ها و الگوریتم‌های بهینه‌سازی متنوعی برای مدل‌سازی سیستم‌های هیدرولوژیکی پیشنهاد شده‌اند اما با توجه به این که سیستم‌های هیدرولوژیکی، ممکن است به داده‌های تصادفی هستند، در نتیجه هیچ‌یک از مدل‌های پیشنهادی نمی‌تواند به طور کامل و دقیق به عنوان یک مدل برتر برای مدل‌سازی سیستم‌های هیدرولوژیکی انتخاب شوند (Azad et al., 2019). امروزه پژوهش‌گران از مدل‌های گوناگونی به منظور تحقق هدف مذکور و انتخاب مدلی با کمترین خطا و بیشترین دقت استفاده کردند.

از پژوهش‌هایی که انجام شده می‌توان به پژوهش Cobaner et al. (2014) اشاره کرد. آن‌ها به منظور مدل‌سازی و تخمین حداقل، حدکثر و متوسط دمای ماهانه طی بازه زمانی ۱۹۷۴-۲۰۱۰ در ۳۷۵ ایستگاه کشور ترکیه با استفاده از مدل‌های شبکه عصبی مصنوعی (ANN)، سیستم استنتاج فازی عصبی تطبیقی (ANFIS) و مدل رگرسیون خطی چندگانه (MLR) پرداختند. در این پژوهش متغیرهای مورد استفاده شامل طول جغرافیایی، عرض جغرافیایی، ارتفاع ایستگاه‌ها و شماره ماه به عنوان متغیر ورودی در نظر گرفته شدند. با بررسی مقادیر مشاهداتی با مقادیر تخمین مدل‌های مذکور و مقایسه مدل ANFIS به عنوان مدل برتر به منظور مدل‌سازی انتخاب شد. در ادامه، Azad et al. (2019) به منظور مدل‌سازی بارش‌های ماهانه استان اصفهان در یک دوره زمانی ۲۱ سال از مدل ANFIS استفاده کردند. با توجه به حجم بالای محاسبات در استفاده از این مدل، به منظور افزایش دقت و کاهش خطا از ترکیب الگوریتم ژنتیک (GA)، الگوریتم بهینه‌سازی کلونی مورچه‌ها برای حوضه پیوسته (ACOR)، الگوریتم بهینه‌سازی ANFIS ذرات (PSO) و الگوریتم تکامل تفاضلی (DE) با استفاده کردند. نتایج بدست آمده از هر چهار مدل ترکیبی پیشنهادی ANFIS-PSO، ANFIS-ACOR، ANFIS-DE و ANFIS-GA دقت بیشتری را نسبت به مدل ANFIS نشان می‌دهند. از میان مدل‌های ترکیبی مذکور نیز مدل ANFIS-ACOR با RMSE برابر با ۰/۷۳ بهترین خروجی و مدل ANFIS با RMSE برابر با ۰/۹۸ بدترین خروجی را ارائه کردند. در پژوهش دیگری، Danende Mehr et al. (2019)

(SVR) ارزیابی عملکرد مبتنی بر ترکیب رگرسیون بردار پشتیبان (SVR) و الگوریتم کرم شبتاب (FFA) در ایستگاه‌های بارندگی سنج تبریز و ارومیه به منظور پیش‌بینی بارندگی ماهانه یک ماهه پرداختند. با توجه به پیچگی‌های تصادفی رویداد بارندگی، ادغام الگوریتم کرم شبتاب و رگرسیون بردار پشتیبان، منجر به پیش‌بینی دقیق‌تر بارش شد. طبق نتایج ارائه شده مدل ترکیبی SVR-FFA موجب کاهش تقریبی ۳۰ درصد ریشه میانگین مربعات خطا (RMSE) و حدود ۱۰۰ درصد در افزایش کارایی معیار نش-ساتکلیف شد. افزایش دقت و کاهش خطا در مدل SVR-FFA منجر به توصیه استفاده از این مدل برای پیش‌بینی بارندگی ماهانه در منطقه نیمه‌خشک شد.

از سایر پژوهش‌ها، Hossain et al. (2020) به بررسی عملکرد مدل‌های رگرسیون خطی چندگانه (MLR) و شبکه عصبی مصنوعی (ANN) به منظور تعیین الگوهای بارش فصلی بلندمدت در استرالیا پرداختند. با توجه به این که بارندگی نه تنها از نظر زمانی، بلکه از نظر مکانی هم تغییر می‌کند تحلیل و پژوهش در مقیاس منطقه‌ای انجام شد. در این پژوهش به منظور ساخت مدل‌های ANN از الگوریتم Lavenberg-Marquardt با قانون پرسپترون چندلایه استفاده شده است. طبق نتایج ارائه آموزش پرسپترون چندلایه ایستگاه شده است. طبق نتایج ارائه شده، مدل ANN غیرخطی در مقایسه با مدل MLR از نظر خطاهای آماری و همبستگی پیرسون عملکرد بهتری نشان دادند. در سنگال نیز Diop et al. (2020) به منظور ارزیابی عملکرد مدل هیبریدی پرسپترون چندلایه-وال (MLP-WOA) در مقایسه با عملکرد مدل پرسپترون چندلایه (MLP) در پیش‌بینی دقیق بارندگی سالانه پرداختند. طبق نتایج بدست آمده، مدل هیبریدی MLP-WOA به میزان کمی دقت مدل MLP را ارتقاء داد و استفاده از این مدل برای پیش‌بینی بارش سالانه مناسب است. همچنین، Maroufpoor et al. (2020) برای ارزیابی عملکرد توانایی مدل هیبریدی شبکه عصبی مصنوعی با الگوریتم بهینه‌سازی گرگ خاکستری (ANN-GWO) در مقابل مدل کمترین مربعات ماشین بردار پشتیبان (LS-SVR) و شبکه عصبی مصنوعی به صورت مستقل (ANN) به منظور تخمین تبخیر-تعرق مرجع پرداختند. طبق نتایج بدست آمده، GWO موجب افزایش عملکرد ساختار شبکه عصبی شده و مدل ANN-GWO نسبت به ANN و LS-SVR دقت و کاهش خطا از Ridwan et al. (2021)، از چندین مدل و روش با هدف پیش‌بینی بارندگی در ترنگانو مالزی پرداختند. بدین منظور از میانگین بارش هفتگی، ۱۰ روزه و ماهانه ۱۰ ایستگاه اطراف منطقه مورد مطالعه و چند ضلعی تیسن به منظور وزن دهی به مساحت و بارش به علت مسطح بودن منطقه مورد مطالعه استفاده شد. مدل‌های مورد استفاده

مصنوعی هیبرید شده با الگوریتم قدرتمند HBA استفاده شد. طبق نتایج به دست آمده از معیارهای ارزیابی به برتری مدل هیبریدی HBA-ANN اشاره شده است. همان‌طور که اشاره شد با توجه به اهمیت بررسی و برآورد بارندگی به عنوان یک عامل مهم تغییر چرخه هیدرولوژی و با توجه به این‌که در زمینه HBA-ANN مدل‌سازی مکانی و زمانی بارش با مدل هیبریدی HBA-ANN پژوهشی توسط سایر پژوهشگران انجام نشده، لذا در پژوهش حاضر به بررسی عملکرد سه روش رگرسیون خطی چندگانه (MLR)، شبکه عصبی مصنوعی (ANN) و مدل هیبریدی HBA-ANN به‌منظور مدل‌سازی زمانی-مکانی بارش ماهانه استان آذربایجان شرقی طی بازه زمانی ۱۹۹۶-۲۰۲۲ پرداخته می‌شود. طبق نتایج به دست آمده از معیارهای ارزیابی RMSE، NSE، NRMSE، MBE، R بهترین مدل پیشنهاد می‌شود.

۲- مواد و روش‌ها

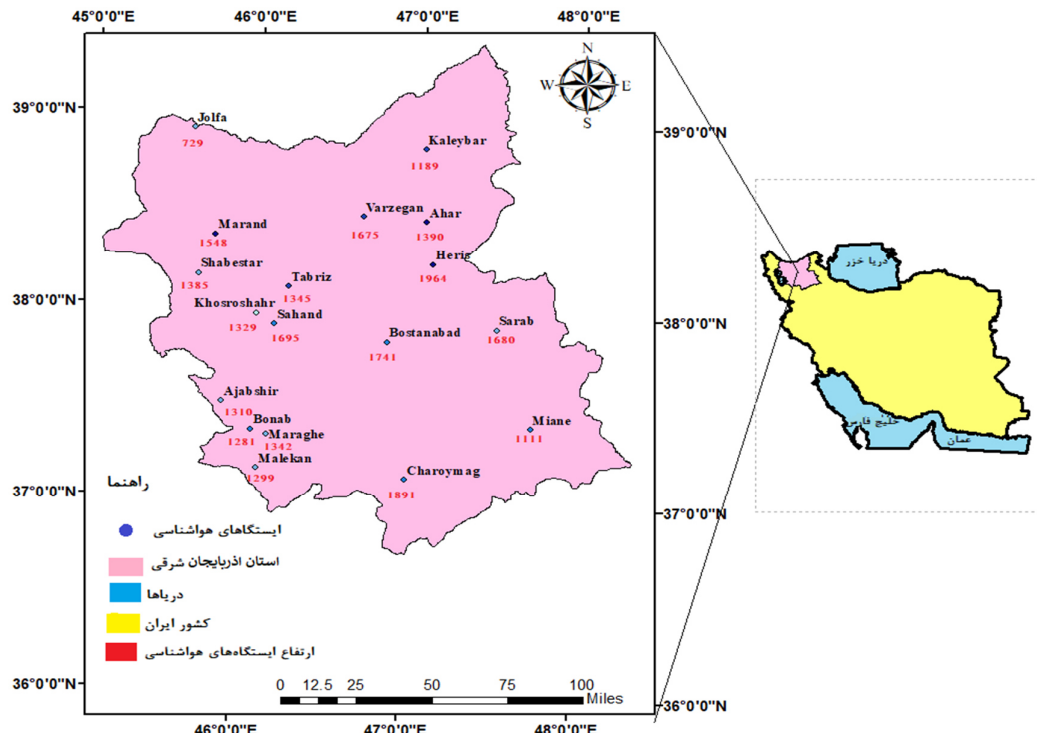
۲-۱- منطقه مورد مطالعه

ایران، در جنوب غربی آسیا با مختصات جغرافیایی 44° تا 48° طول شرقی و 25° تا 40° عرض شمالی در منطقه خاورمیانه قرار گرفته است. هم‌چنین در این کشور حداقل و حداًکثر ارتفاع از سطح دریا ۵-۲۰۶۰ متر، میانگین بارش سالانه ۲۶۰ میلی‌متر و میانگین دما ۱۸ درجه سانتی‌گراد است. منطقه مورد مطالعه استان آذربایجان شرقی در شمال غرب کشور ایران و در محدوده 7° تا 20° طول شرقی و 36° تا 45° عرض شمالی قرار گرفته و دارای آب و هوای سرد و خشک است. به‌طور عمده، آب و هوای این منطقه تحت تأثیر جریان‌های مرطوب دریای مدیترانه و توده‌های هوای سرد سیبری است (Vahedi et al., 2023). میانگین بارش سالانه استان، ۲۵۰ الی ۳۵۰ میلی‌متر است. بر اساس داده‌های آماری ارائه شده ۱۸ ایستگاه توسط اداره کل هواشناسی استان آذربایجان شرقی برای یک دوره ۲۷ ساله (۱۹۹۶-۲۰۲۲) برای مدل‌سازی زمانی-مکانی و ارزیابی عملکرد مدل‌های رگرسیون خطی چندگانه، شبکه عصبی مصنوعی و هیبرید شبکه عصبی مصنوعی و الگوریتم گورکن عسل‌خوار استفاده می‌شوند. با توجه به انسجام داده‌ها و نبود داده پرت و گمشده هیچ‌گونه عملیات آماری روی داده‌ها صورت نگرفت. برای مدل‌سازی زمانی بارش، از گام‌های تأخیر زمانی یک‌ماهه و دو‌ماهه بارش ایستگاه‌ها به عنوان متغیر ورودی استفاده شد. درصد ابتدایی داده‌ها برای بخش آموزش و ۳۰ درصد انتهایی داده‌ها برای بخش آزمون انتخاب شدند. هم‌چنین، برای مدل‌سازی مکانی بارش، از مختصات جغرافیایی ایستگاه‌ها (طول جغرافیایی، عرض

شامل رگرسیون لجستیک دوگانه (BLR)، رگرسیون جنگل تصمیم (DFR)، رگرسیون شبکه عصبی (NNR) می‌باشد. با توجه به نتایج به دست آمده مدل‌سازی با روش‌های DFR و BDTR قابل قبول‌ترین نتیجه نسبت به روش‌های NNR و BLR دارند. اما روش BDTR برای بارش ماهانه با اختلاف کم، دقت بالاتری نسبت به روش DFR دارد. در نیاوران تهران Rezaie et al. (2022) به ارزیابی عملکرد مدل‌های حافظه طولانی کوتاه‌مدت (LSTM)، شبکه عصبی کانولوشن (CNN) و مدل هیبریدی بهینه‌سازی ازدحام ذرات (PSO) با رگرسیون بردار پشتیبان (PSO-SVR) به‌منظور پیش‌بینی کوتاه‌مدت عمق بارندگی، طی بازه زمانی ۱۴-۲۰۱۴ براساس مجموعه داده‌های ایستگاه باران‌سنگی پرداختند. بر اساس نتایج به دست آمده مدل PSO-SVR بهترین عملکرد را نسبت به CNN نشان دادند. در نهایت، Paryani et al. (2022) بهینه‌سازی مدل رگرسیون بردار پشتیبان (SVR)، با استفاده از چهار روش الگوریتم بهینه‌سازی هریس شاهین (HHO)، الگوریتم بهینه‌سازی گرگ (PSO)، الگوریتم خفash (BA) و الگوریتم GWO دقت در مدل‌سازی حساسیت سیل در کراماشاه پرداختند. بر اساس نتایج به دست آمده از معیارهای ارزیابی برای چهار مدل هیبریدی SVR-HHO، SVR-GWO، SVR-BA و SVR-HHO PSO مدل هیبریدی SVR-HHO نتایج مطلوبی برای مدل‌سازی حساسیت به سیل ارائه داد. امروزه الگوریتم‌های متعدد و جدیدی در علوم مهندسی و کامپیوتر ارائه شده‌اند. در حالت کلی این الگوریتم‌ها برای دست‌یابی به جواب بهینه به تعداد کمی تکرار نیاز دارند و همین امر موجب افزایش کیفیت نتایج می‌شود (Rawa et al., 2022). الگوریتم بهینه‌سازی گورکن عسل‌خوار (HBA)، یک الگوریتم نوآورانه‌ای می‌باشد که در زمینه‌های مختلفی مورد استفاده قرار گرفته است. در پژوهشی (Rawa et al., 2022) به‌منظور افزایش متنغيرهای سلول خورشیدی از مدل هیبریدی گورکن عسل‌خوار-گوریل‌های مصنوعی (HBA-GTO) استفاده شد. مدل هیبریدی HBA-GTO به علت سرعت همگرایی و دقت نتایج Almodfer et al. (2022) بالا پیشنهاد می‌شود. در پژوهش دیگر HBA به عنوان یک روش جدید استفاده شد. بر اساس نتایج به دست آمده، الگوریتم HBA عملکرد بهتری را در این زمینه ارائه داد. هم‌چنین، Zhou et al. (2023) برای پیش‌بینی دمای هوا در گرم‌ترین و سردترین مناطق جهان از مدل‌های شبکه عصبی مصنوعی، الگوریتم ژنتیک، و مدل شبكه عصبی

زمانی و مکانی از معیارهای ارزیابی MBE، NSE، RMSE و نمودارهای گرافیکی ویلونوی، دیاگرام تیلور و خطای نسبی که توسط نرم‌افزار Mathematica ترسیم شده‌اند استفاده می‌شود. در شکل ۱ نقشه توزیع مکانی و موقعیت جغرافیایی و در جدول ۱ مشخصات آماری و مختصات جغرافیایی ایستگاه‌های منطقه ارائه شده است.

جغرافیایی و ارتفاع جغرافیایی) به عنوان متغیر ورودی و از میانگین بارش ماهانه به عنوان متغیر خروجی استفاده می‌شود. از بین ۱۸ ایستگاه، ۷۰ درصد ایستگاه‌ها (۱۳ ایستگاه) برای بخش آموزش و ۳۰ درصد ایستگاه‌ها (چاراویماق، بناب، مرند، بستان‌آباد و اهر) برای بخش آزمون انتخاب شدند. نحوه انتخاب ایستگاه‌ها در بخش آزمون به‌گونه است که کل محدوده مورد مطالعه را شامل می‌شود. برای ارزیابی عملکرد روش‌های اشاره شده در هر دو مدل‌سازی



شکل ۱- نقشه توزیع مکانی و موقعیت جغرافیایی ایستگاه‌های باران‌سنجی منطقه مورد مطالعه
Figure 1- Spatial distribution map and geographic location of rain gauge stations in the study region

جدول ۱- مشخصات آماری و مختصات جغرافیایی ایستگاه‌ها

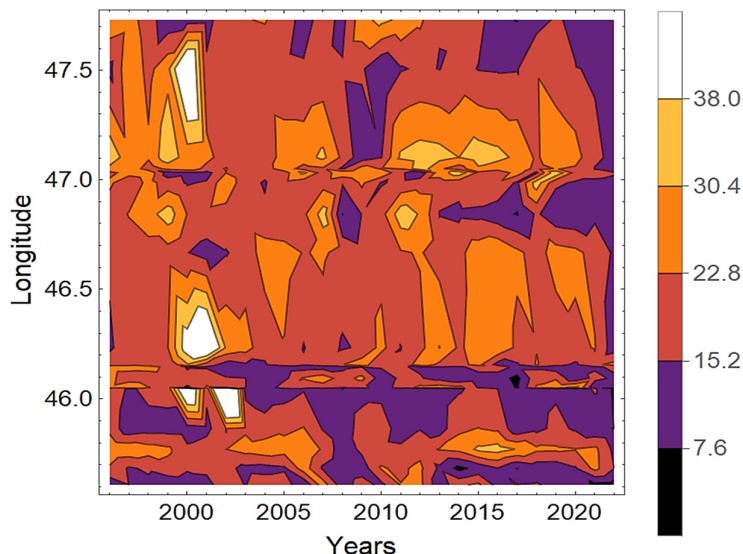
Table 1- Statistical characteristics and geographic coordinates of the stations

ایستگاه	طول	عرض	ارتفاع (متر)	حداکثر بارش ماهانه (میلی‌متر)	حداقل بارش ماهانه (میلی‌متر)	میانگین بارش ماهانه (میلی‌متر)	اُنحراف معیار	واریانس
جلقا	45.60713	38.93201	43.45	729	0	15.24	9.28	86.16
اهر	47.05157	38.48936	42.95	1390	3	23.77	7.95	63.25
تبیز	46.23383	38.12239	40.51	1345	4.25	20.95	7.33	53.81
سهند	46.15691	37.92381	62.45	1695	2.8	19.13	6.98	48.79
سراب	47.50783	37.93507	40.2	1680	0	16.88	6.67	44.55
کلیر	47.03268	38.86878	47.92	1189	0.51	21.7	10.04	108.14
مراغه	46.14616	37.42107	31.64	1342	4.05	15.21	5.37	28.94
میانه	47.73197	37.42107	37.45	1111	0	17.89	7.95	63.33
مرند	45.77036	38.38149	38.69	1548	1.61	23.69	6.31	39.9
ورزان	46.66750	38.50433	51.39	1675	0.4	20.84	6.10	37.26
شیستر	45.68362	38.17176	32.42	1385	0	15.5	7.04	49.59
ملکان	46.09478	37.16917	40.35	1299	0	16.07	7.55	56.98
خسروشهر	46.84393	37.97568	30.72	1329	2.7	13.48	6.174	38.12
بستان‌آباد	46.84393	37.85157	42.37	1741	0.82	18.59	9.56	91.47
هریس	47.10329	38.26738	45.26	1964	0	25.74	8.87	78.62
عجب‌شیر	45.86507	37.50899	35.92	1310	0	15.63	7.10	50.42
بناب	46.05224	37.37	46.65	1281	0	18.84	8.99	80.79
چاراویماق	46.98692	46.98692	42.36	1891	0.01	19.18	7.69	59.13

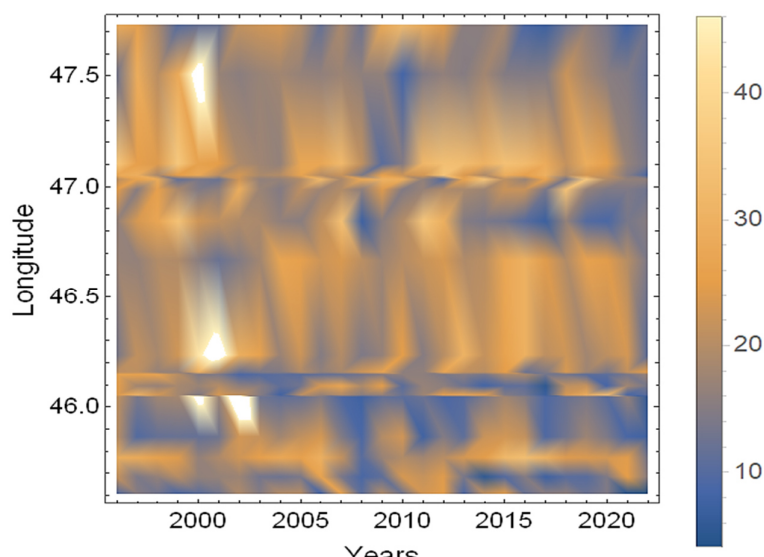
ارائه شده است. با توجه به این که مقدار P-Value میانگین بارش با ارتفاع برابر با 0.05 و با عرض جغرافیایی برابر با 0.049 و با طول جغرافیایی برابر با 0.038 است، فرض صفر مبتنی بر یکسان بودن متغیرها در مؤثر بودن میانگین بارش رد P-Value می شود (<0.05). پس با توجه به مقدار کم P-Value در متغیر طول جغرافیایی می توان نتیجه گرفت که متغیر مذکور تأثیر بالایی در میانگین بارش دارد و به عنوان محور y انتخاب می شود.

با توجه به جدول ۱، مرتفع ترین ایستگاه با ارتفاع 1964 متر و بیشترین میانگین بارش با $25/74$ میلی متر مربوط به ایستگاه هریس و حداقل میزان بارش با مقدار صفر مربوط به ایستگاه های جلفا، سراب، میانه، شبستر، ملکان، هریس، عجبشیر و بناب و حداقل مقدار بارش با مقدار $62/45$ میلی متر مربوط به ایستگاه سهند است.

بهمنظور شناخت رفتار مکانی و زمانی بیشینه رخدادهای بارندگی، میانگین توزیع مکانی-زمانی بارش، با استفاده از Mathematica ترسیم شده و نتایج آن در شکل های ۲ و ۳



شکل ۲- نمودار میانگین توزیع مکانی و زمانی بارش منطقه مورد مطالعه
Figure 2- Average spatial and temporal distribution of precipitation in the study region

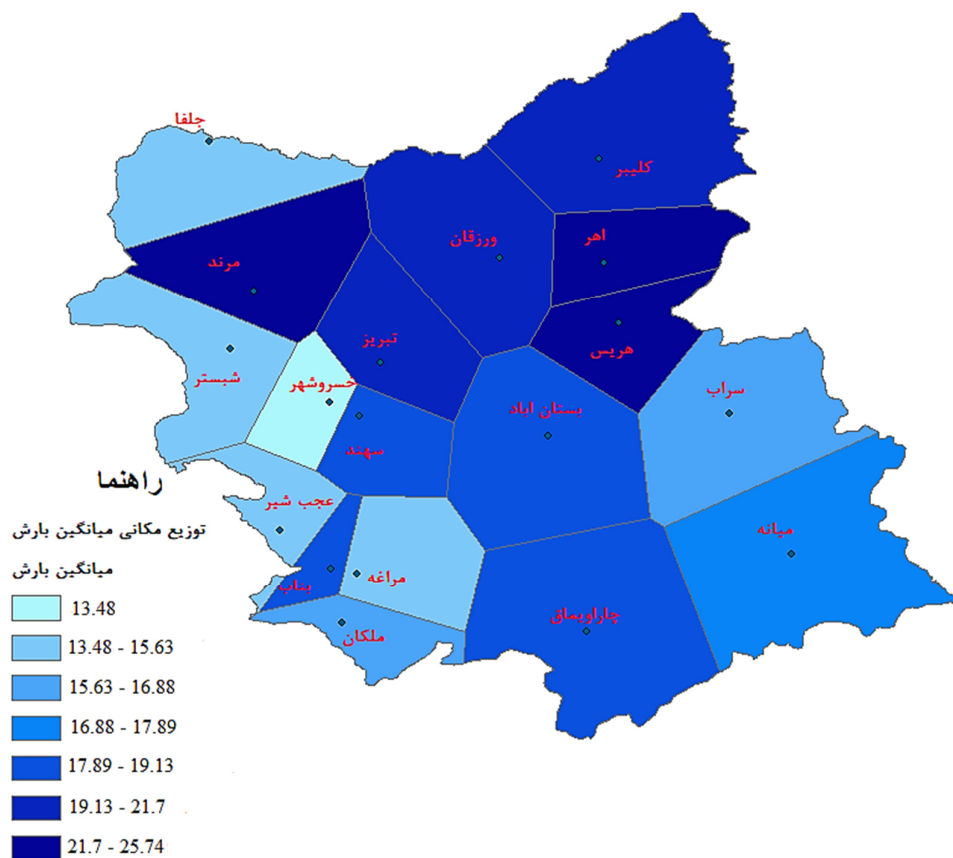


شکل ۳- نمودار تراکم میانگین توزیع مکانی و زمانی بارش منطقه مورد مطالعه
Figure 3- Density diagram of average spatial and temporal distribution of precipitation in the study region

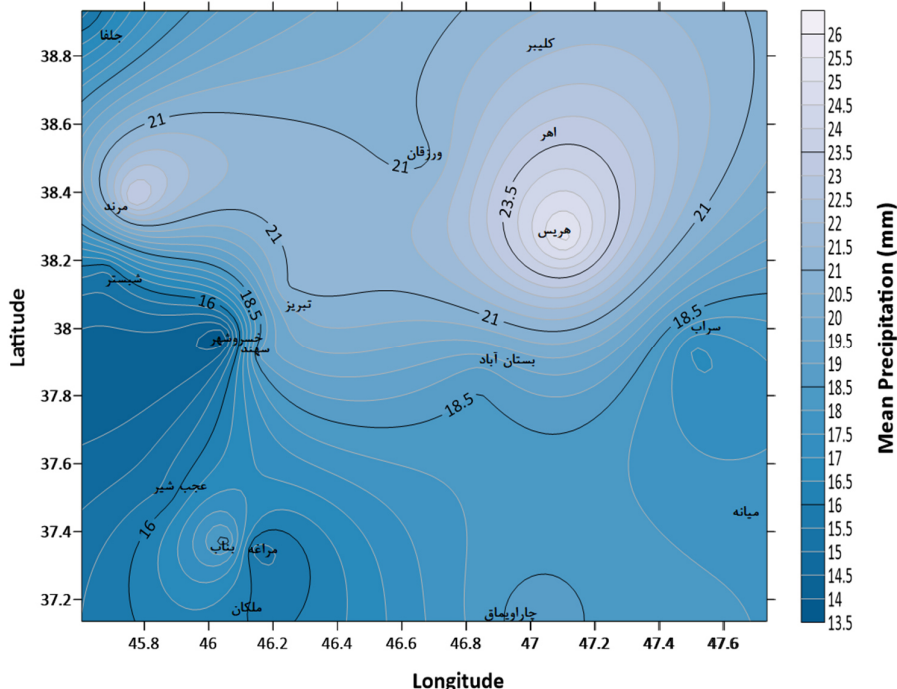
استفاده از این روش می‌توان مقدار و ارزش نقاط نمونه‌برداری نشده، با مقدار و ارزش نقاط نمونه‌برداری شده مجاور، مساوی است. همچنین، منظور از منحنی‌های هم‌باران، مکان هندسی نقطی است که در یک دورهٔ مشخص، مقدار بارش یکسانی هستند. در این روش ابتدا باید ایستگاه‌های موجود را روی نقشهٔ مناسب نشان داده و با توجه به مقدار بارش مربوط به هر ایستگاه خطوط هم‌باران آن را رسم کرد. نتایج حاصل از برآورد بارش با استفاده از روش‌های درون‌یابی پلیگون تیسن و هم‌باران در شکل‌های ۴ و ۵ اورده شده است. قابل ذکر است، با توجه به همبستگی کم متغیر ارتفاع با میانگین بارش، برای کاهش خطا از متغیرهای طول و عرض جغرافیایی در ترسیم پلیگون تیسن و منحنی هم‌باران استفاده شد. استفاده از ارتفاع در ترسیم منحنی‌های مذکور نیز مورد باحتیاط استفاده شود.

با مشاهده شکل های ۲ و ۳، با افزایش طول غرافیاکی، مقدار میانگین بارش افزایش می یابد (افزایش رنگ زرد). همچنین، با افزایش مقدار سال، مقدار میانگین بارش کاهش می یابد بهطوری که مقدار بارش از سال ۲۰۱۵ تا ۲۰۲۲ به میزان قابل توجهی کاهش پیدا کرده است (افزایش رنگ بنفسش) که نشان دهنده احتمال وقوع خشکسالی در منطقه است.

برای برآورد بارش در کل منطقه از روی داده‌های استگاه‌های موجود، از روش‌های درون‌بایی هم‌باران که با استفاده از نرم‌افزار Surfer و روش پلیگون تیسن که در Arcgis ترسیم شدند، بهره گرفته شد. با کمک روش‌های مذکور می‌توان مقدار بارش برای نقاط بدون داده را به کمک نقاط مجاور و معلوم تعیین کرد. در روش پلیگون تیسن ارزش یک نقطه در یک منطقه، به تمامی نقاطی که مساحت همان منطقه را شامل می‌شوند می‌توان نسبت داد. در سیستم اطلاعات مکانی، با



شکل ۴- توزیع مکانی میانگین بارش ماهانه منطقه مورد مطالعه (روش پلیگون تیسن)



شکل ۵- توزیع مکانی میانگین بارش منطقه مورد مطالعه (روش منحنی هم‌باران)
Figure 5- Spatial distribution of the average rainfall of the study region (Isohyet method)

(2021). این روش مبتنی بر عملکرد فرآیندهای موازی سیستم‌های عصبی بیولوژیکی انسان است و می‌تواند بین داده‌های ورودی و خروجی یک فرآیند، بدون اطلاع دقیق از فیزیک آن ارتباط برقرار کند (Maroufpoor et al., 2020). در روش مذکور تکرار، کلید یادگیری است و زمانی که داده‌ها بارها وارد الگوریتم یادگیری می‌شوند، تفاوت در مقدار داده‌ها را می‌توان با تغییراتی که در خطاهای وزن‌ها رخ می‌دهد تعیین کرد (Nourani, 2017). یکی از روش‌های پرکاربرد برای آموزش ANN، روش Back-Propagation است. در این الگوریتم هر تکرار دو مرحله دارد: مرحله اول یک حرکت پیش‌خور است (Feed-Forward)، که در این حالت ورودی‌ها با وزن ضرب و آن‌ها را با بردار خطاهای جمع می‌کند. این حرکت شامل اندازه‌گیری مقدار خطای بعد از یافتن مقدار خروجی و مقایسه آن با مقدار هدف است. سپس با بدن به مقادیر خطای مربوط به وزن‌ها و بایاس‌ها، الگوریتم به مرحله بعد که پس انتشار خطای (Back-Propagation) نام دارد راه می‌یابد. در این مرحله متغیرها بر اساس مقدار خطاهای اصلاح می‌شوند. دو مرحله Back-propagation و Feed-Forward می‌یابند که خروجی پیش‌بینی شده بسیار نزدیک به خروجی موردنظر (هدف) باشد (Nourani, 2017).

در مدل ANN رابطه بین ورودی و خروجی به صورت زیر که در آن f تابع تحریک، b خطاهای و w وزن گره‌ها است نوشته می‌شود.

۲-۲- رگرسیون خطی چندگانه (MLR)

مدل رگرسیون خطی چندگانه، یکی از روش‌هایی است که می‌توان به کمک این روش به تحلیل و بررسی چندمتغیره پرداخت. با توجه به این ویژگی، این روش نیازمند تعداد زیادی داده با دقت و صحت بالا است. در مدل رگرسیون خطی چندگانه، مدل دارای یک متغیر وابسته و چندین متغیر مستقل است. در صورتی که بین متغیرهای مستقل که X_1, X_2, \dots, X_n و متغیر Y که وابسته نامیده می‌شود ارتباط خطی ایجاد شود، رابطه (۱) حاصل می‌شود:

$$Y = a_0 + a_1 X_1 + a_2 X_2 + \dots + a_n X_n + e \quad (1)$$

در رابطه فوق، a_0 و a_1 و a_2 و ... و a_n ضرایب رگرسیون نامیده می‌شود. اگر از رابطه فوق امید ریاضی گرفته شود، با توجه به اینکه مقدار خطای در امید ریاضی صفر است، در نتیجه طبق رابطه (۲) داریم:

$$E(Y) = a_0 + a_1 x_1 + a_2 x_2 + \dots + a_n x_n \quad (2)$$

در رابطه بالا $E(Y)$ ، مقدار به عنوان تابع هدف تحت تأثیر متغیرهای X_1, X_2, \dots, X_n است (Samadianfard and Asadi 2017).

۳-۲- شبکه عصبی مصنوعی (ANN)

شبکه عصبی مصنوعی، یک مدل جعبه سیاه مبتنی بر شبکه‌های عصبی در مغز انسان است (Mirzania et al., 2017).

است. به منظور تعیین موقعیت جدید (X_{new}) در این الگوریتم، از دو فاز کاوش حفاری و عسل استفاده می‌کنیم. کاوش حفاری:

$$\begin{aligned} X_{\text{new}} = & X_{\text{prey}} + F \beta I X_{\text{prey}} \\ & + Fr_3 \alpha d_j |\cos(2\pi r_4) [1 - \cos(2\pi r_5)]| \end{aligned} \quad (11)$$

در رابطه (11)، (X_{prey}) نشان‌دهنده بهترین موقعیت طعمه بودست آمده تاکنون است. $\geq \beta$ نشان‌دهنده توانایی گورکن عسل خوار برای یافتن غذا (به صورت پیش فرض شش در نظر گرفته می‌شود)، r_4 و r_5 عدد تصادفی تولید شده در بازه صفر و یک است. F هم جهت جست و جو را تغییر می‌دهد که که از رابطه زیر محاسبه می‌شود:

$$F = \begin{cases} 1 & \text{if } r_6 \leq 1/2 \\ -1 & \text{otherwise} \end{cases} \quad (12)$$

کاوش عسل:

$$X_{\text{new}} = X_{\text{prey}} + \alpha d_j r_7 F, \quad r_7 \in [0,1] \quad (13)$$

از طریق رابطه فوق می‌توان موقعیت جدید گورکن عسل خوار را زمانی که از طریق زبور عسل، کندو را شبیه‌سازی می‌کند، محاسبه کرد. رابطه‌های (10)، (11) و (12) به ترتیب مقادیر α و F را تعیین می‌کند. در حالی که X_{prey} بهترین موقعیت جدید گورکن عسل خوار، بسته به فاصله (d_j) نزدیک‌ترین و بهینه‌ترین موقعیت می‌دهد. از رابطه (11) می‌توان مشاهده کرد که گورکن عسل خوار، بسته به فاصله (d_j) نزدیک‌ترین و بهینه‌ترین موقعیت طعمه را جست و جو می‌کند (Almodfer et al., 2022).

شکل ۶ به نمودار جریانی الگوریتم HBA اشاره شده است.

۲- الگوریتم هیبریدی HBA-ANN

در مدل HBA-ANN، از الگوریتم بهینه‌سازی HBA به منظور تعیین بهینه‌ترین مقدار خروجی در شبکه عصبی و افزایش عملکرد و توانایی در پیش‌بینی و مدل‌سازی مسائل مختلف می‌شود. زمانی که متغیرها به یکتابع ریاضی خاص بین ANN و HBA تنظیم شدن، یا زمانی که مقدار تکرار به حداقل تعداد برسد، مدل متوقف می‌شود. در نتیجه مدل هیبریدی می‌تواند مزایای ANN و HBA را داشته باشد (Mohammadi et al., 2020).

۳- پارامترهای ارزیابی

به منظور بررسی عملکرد مدل‌های مذکور، از پنج پارامتر ارزیابی ریشه میانگین مربع خطای (RMSE)، ضریب همبستگی (R)، ضریب نش-ساتکلیف (NSE)، خطای جذر میانگین مربعات نرمال‌سازی شده (NRMSE) و میانگین قدرمطلق خطای نسبی (MBE) است (Danende Mehr et al., 2019; Ye et al., 2021; Maroufinia et al., 2022).

$$Y = f(W_1 X_1 + W_2 X_2 + \dots + W_n X_n + b) \quad (3)$$

۴- الگوریتم بهینه‌سازی گورکن عسل خوار (HBA)

الگوریتم HBA یک الگوریتم جدید و فرا ابتکاری است که رفتار جست و جوی عسل، توسط موجودی به نام گورکن عسل خوار را شبیه‌سازی و برای فرآیند مدل‌سازی استفاده می‌شود. گورکن عسل خوار حیوان باهوشی است که برای یافتن عسل از طریق بو کشیدن موقعیت کندو را تخمین زده و در نزدیکی کندو پرسه می‌زند. در نهایت، از طریق زنبورهای عسل، مکان دقیق کندو را پیدا و از آن استفاده می‌کند. الگوریتم HBA یک روش بهینه‌سازی جهانی است و شامل دو مرحله اکتشاف و بهره‌برداری است. از نظر ریاضی جمعیت داوطلب (X)، در HBA به صورت زیر است (Almodfer et al., 2022):

$$X = \begin{bmatrix} X_{11} & X_{12} & X_{13} & \dots & X_{1d} \\ X_{21} & X_{22} & X_{23} & \dots & X_{2d} \\ \dots & \dots & \dots & \dots & \dots \\ X_{n1} & X_{n2} & X_{n3} & \dots & X_{nd} \end{bmatrix} \quad (4)$$

در مرحله اول رابطه زیر به کار می‌رود. در این رابطه، j موقعیت گورکن عسل خوار است. موقعیت‌های مربوط به این حیوانات را با n جمعیت می‌توان با رابطه (5) محاسبه کرد. در این رابطه، LBI، UBI و LBI به ترتیب مرزهای بالایی و پایینی فضای جست و جو هستند و r_j و Z_j این موقعیت گورکن عسل خوار که به جمعیت با اندازه n اشاره می‌کند (Almodfer et al., 2022).

$$X_j = [x_j^1 \ x_j^2 \ x_j^3 \ x_j^4] \quad (5)$$

در مرحله دوم رابطه‌های (6) تا (9) به کار برده می‌شود:

$$X_j = LB_i + r_1(UB_i - LB_i), \quad r_1 \in [0,1] \quad (6)$$

$$I_j = \frac{r_2 S}{4\pi d_j^2}, \quad r_2 \in [0,1] \quad (7)$$

$$S = (X_j - X_{j+1})^2 \quad (8)$$

$$d_j = X_{\text{prey}} - X_j \quad (9)$$

در رابطه فوق I_j به قدرت غلطت عسل و فاصله عسل و گورکن عسل خوار بستگی دارد. I_j شدت بوی عسل است به طوری که اگر بوی عسل کم باشد، حرکت کند و بوی عسل تند باشد حرکت سریع است. S نشان‌دهنده شدت غلظت و r_2 فاصله بین گورکن عسل خوار و طعمه است. به منظور اطمینان از انتقال یکپارچه از مرحله اکتشاف به مرحله بهره‌برداری، از بروزرسانی با تکرار کاهش (a) از رابطه (10) استفاده می‌شود تا مقدار تصادفی سازی در طول زمان کاهش یابد (Almodfer et al., 2022).

$$\alpha = C \times \exp\left(\frac{-\text{iter}}{\text{Max}_{\text{iter}}}\right) \quad (10)$$

در رابطه بالا، مقدار C یک عدد ثابت بیشتر از یک (مقدار پیش‌فرض دو است) و Max_{iter} نشان‌دهنده حداقل تعداد تکرار

در روابط فوق، $O(i)$ مقادیر مشاهداتی، $P(i)$ مقادیر محاسباتی، N تعداد کل داده‌ها، \bar{o} میانگین مقادیر مشاهداتی و \bar{p} میانگین مقادیر محاسباتی O_{\max} حداقل مقادیر مشاهداتی و O_{\min} حداقل مقادیر محاسباتی هستند. هرچقدر نتایج $RMSE$ به عدد صفر و $NRMSE$ عدد کمتر از ۱۰ درصد و NSE به عدد یک نزدیک باشد مطلوب است. روند کلی مراحل انجام پژوهش در شکل ۷ نیز قابل مشاهده است.

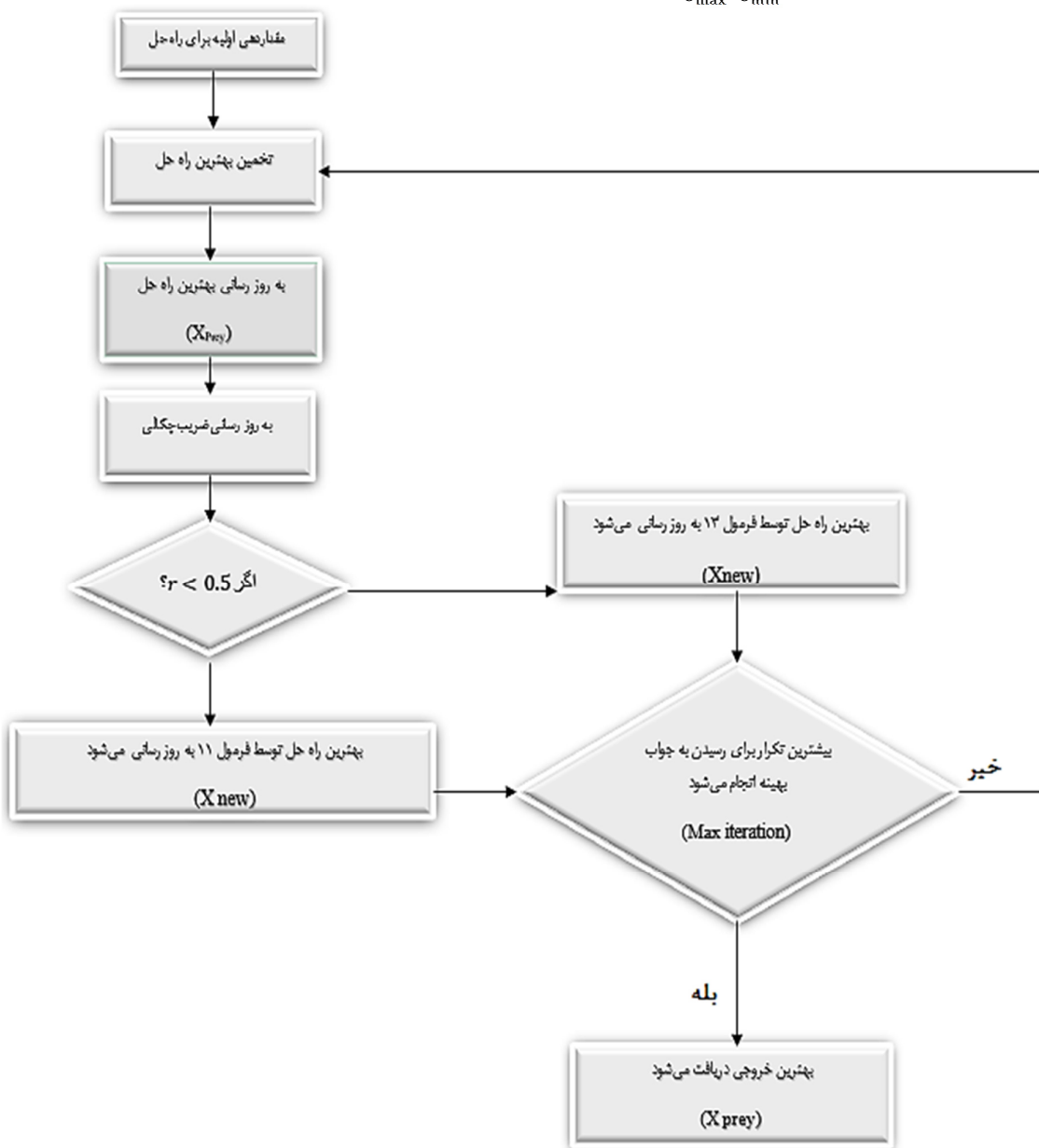
$$R = \frac{\sum_{i=1}^N (o(i) - \bar{o})(p(i) - \bar{p})}{\sqrt{\sum_{i=1}^N (o(i) - \bar{o})^2} \sqrt{\sum_{i=1}^N (p(i) - \bar{p})^2}} \quad (14)$$

$$RMSE = \sqrt{\frac{1}{N} \sum_{i=1}^N (o(i) - p(i))^2} \quad (15)$$

$$NSE = 1 - \frac{\sum_{i=1}^N (o_i - p_i)^2}{\sum_{i=1}^N (o_i - \bar{o})^2} \quad (16)$$

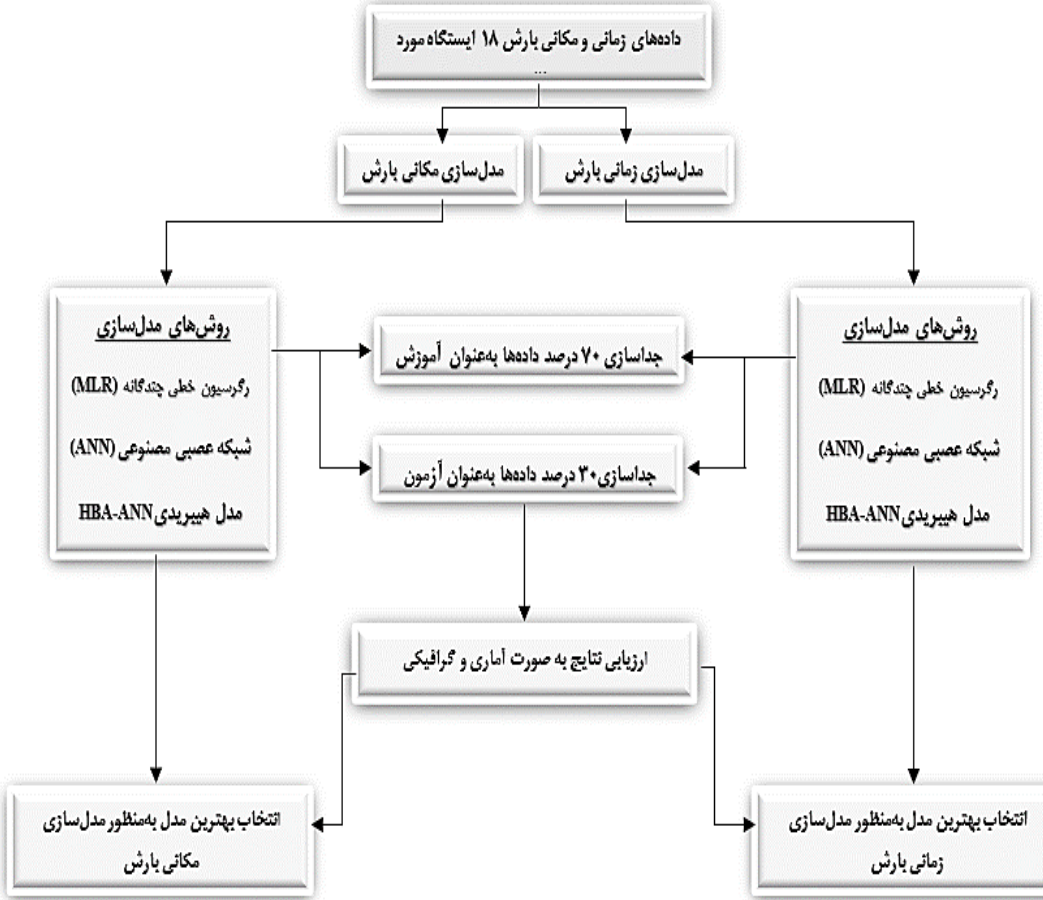
$$MBE = \frac{\sum_{i=1}^N P_i - O_i}{n} \quad (17)$$

$$NRMSE = \frac{\sqrt{\frac{1}{n} \sum_{i=1}^N (P_i - O_i)^2}}{O_{\max} - O_{\min}} \quad (18)$$



شکل ۶- نمودار جریانی الگوریتم HBA

Figure 6- Diagram of the HBA algorithm



شکل ۷- نمودار جریانی مرافق انجام پژوهش

Figure 6-Diagram of research

مدل هیبریدی HBA-ANN ایستگاه هریس با ضریب همبستگی ۰/۹۴، ریشه میانگین مربعات خطای ۰/۲۵ نش-سانکلیف ۰/۷۹، خطای جذر میانگین مربعات خطای نرمال‌سازی شده ۰/۰۴ و میانگین قدرمطلق خطای نسبی ۱/۰۶ در مرحله آزمون عملکرد بهتری دارد. و ایستگاه سراب با ضریب همبستگی ۰/۷۳، ریشه میانگین مربعات خطای ۰/۶۸ نش-سانکلیف ۰/۵۶، خطای جذر میانگین مربعات خطای نرمال‌سازی شده ۰/۰۸ و میانگین قدرمطلق خطای نسبی ۱/۹۹ عملکرد ضعیفی نسبت به سایر ایستگاه‌ها در مرحله آزمون ارائه داد. همچنین، می‌توان دریافت، مدل هیبریدی در ایستگاه هریس موجب ارتقاء ۲۵ درصدی مقدار RMSE، ارتقاء یک درصدی مقدار NSE، ارتقاء ۵۰ درصدی مقدار NRMSE و ارتقاء ۴۹ درصدی مقدار MBE در شبکه عصبی مصنوعی شد.

۳- نتایج و بحث

در این پژوهش، به مدل‌سازی زمانی-مکانی بارش ماهانه در ۱۸ ایستگاه هواشناسی استان آذربایجان شرقی طی بازه زمانی ۱۹۹۶-۲۰۲۲ توسط مدل‌های رجرسیون خطی چندگانه (MLR)، شبکه عصبی مصنوعی (ANN) و مدل هیبریدی HBA-ANN پرداخته شده است. بهمنظور مدل‌سازی زمانی بارش، از گام‌های تأخیر زمانی یکماهه و دوماهه بارش ایستگاه‌ها بهعنوان متغیر ورودی استفاده شد. ۷۰ درصد ابتدایی داده‌ها برای بخش آموزش و ۳۰ درصد انتهاهی داده‌ها برای بخش آزمون انتخاب شدند. در جدول‌های ۲، ۳ و ۴ عملکرد هر سه مدل برای هر ۱۸ ایستگاه هم در مرحله آزمون هم در مرحله آزمون بر اساس معیارهای ارزیابی نشان می‌دهند. با توجه به جدول‌های ۲ تا ۴ و مقایسه نتایج مدل‌های مورد استفاده، از طریق معیارهای ارزیابی R، RMSE و NSE و HBA-ANN MBE می‌توان نتیجه گرفت که مدل هیبریدی HBA-ANN دقت قابل توجهی نسبت به سایر مدل‌ها در مدل‌سازی زمانی بارش از خود نشان داد. همچنین، با مقایسه نتایج ایستگاه‌ها در

جدول ۴- معیارهای ارزیابی عملکرد مدل هیبریدی HBA-ANN
Table 4- HBA-ANN hybrid model performance evaluation criteria

معیارهای ارزیابی عملکرد					ایستگاه
MBE	NRMSE	NSE	RMSE	R	
2.05	0.09	0.66	3.85	0.81	جلفا
-2.01	0.08	0.73	3.5	0.85	اهر
2.2	0.08	0.68	3.62	0.88	تبریز
2.23	0.01	0.6	3.6	0.77	سهند
1.99	0.08	0.56	3.68	0.73	سراب
-2.86	0.15	0.7	5.62	0.85	کلیبر
-0.97	0.05	0.85	1.06	0.91	مراغه
-1.05	0.07	0.76	2.27	0.88	میانه
1.81	0.05	0.84	2.3	0.93	مرند
1.94	0.1	0.67	2.76	0.8	ورزقان
-1.08	0.05	0.68	2.53	0.9	شیستر
-1.97	0.07	0.8	2.89	0.84	ملکان
2.05	0.07	0.65	3	0.8	خسروشهر
2.15	0.07	0.67	3.28	0.82	بستان آباد
1.06	0.04	0.79	2.25	0.94	هریس
-1.45	0.08	0.81	2.57	0.88	عجب شیر
2.47	0.09	0.71	3.69	0.85	بناب
1.74	0.1	0.72	3.9	0.82	چاراویماق

جدول ۲- معیار عملکرد مدل رگرسیون خطی چند گانه
Table 2- Multiple linear regression model performance evaluation criteria

معیارهای ارزیابی عملکرد					ایستگاه
MBE	NRMSE	NSE	RMSE	R	
3.78	0.12	0.65	5.67	0.77	جلفا
3.25	0.07	0.7	4.78	0.83	اهر
3.2	0.07	0.65	4.18	0.85	تبریز
3.25	0.08	0.57	4.79	0.71	سهند
3.23	0.18	0.53	4.52	0.68	سراب
5.01	0.08	0.68	6.75	0.84	کلیبر
-0.71	0.06	0.78	1.69	0.91	مراغه
-1.02	0.08	0.75	2.89	0.85	میانه
1.01	0.07	0.83	2.48	0.9	مرند
3.01	0.12	0.64	4.35	0.72	ورزقان
-2.24	0.07	0.66	3.33	0.88	شیستر
3.3	0.07	0.79	4.12	0.83	ملکان
3.02	0.13	0.64	4.13	0.73	خسرو شهر
3.15	0.11	0.66	4.26	0.79	بستان آباد
-2.64	0.05	0.77	3.16	0.93	هریس
-2.89	0.08	0.78	3.66	0.86	عجب شیر
4.86	0.1	0.91	6.14	0.81	بناب
4.91	0.12	0.62	6.23	0.75	چاراویماق

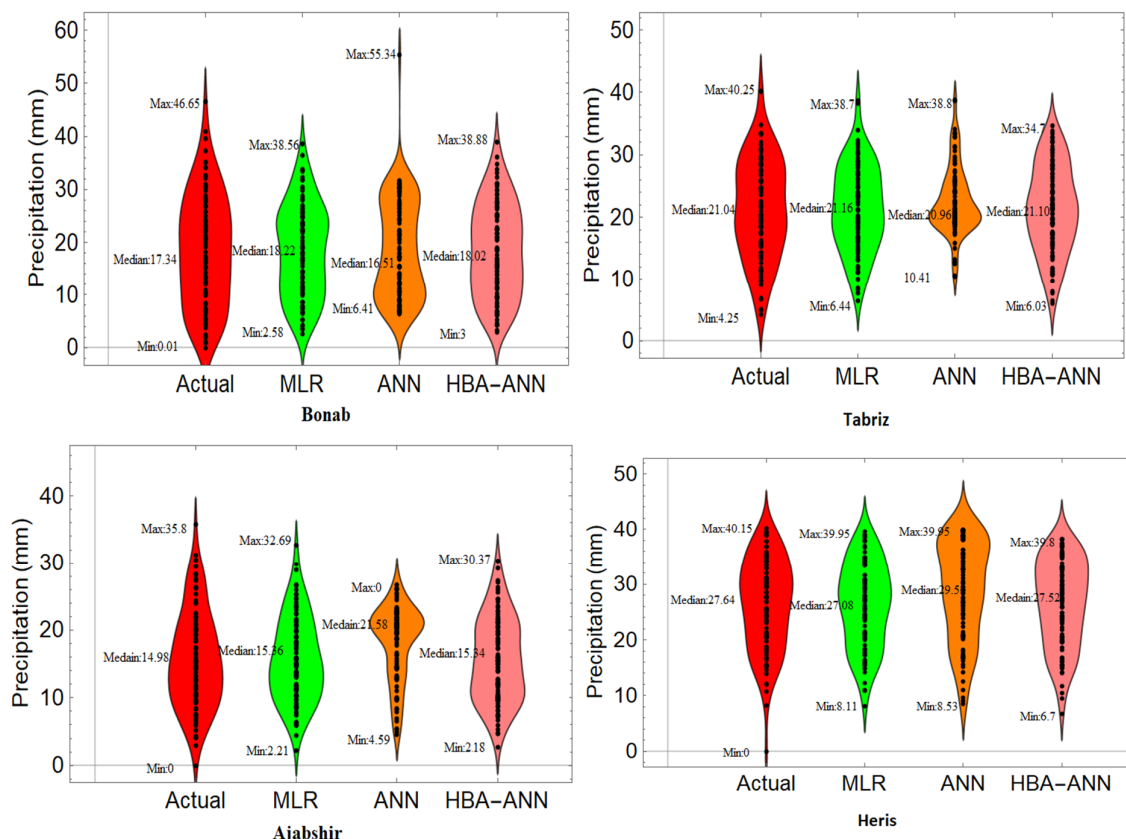
در این پژوهش، به منظور مقایسه و ارزیابی مدل‌ها و انتخاب بهترین مدل به صورت گرافیکی از نمودار ویولونی و دیاگرام تیلور استفاده شد. با توجه به تعداد زیاد ایستگاه‌های موجود و عملکرد عالی مدل هیبریدی در همه ایستگاه‌ها، ایستگاه‌هایی که در آن‌ها مدل هیبریدی نتایج بسیار عالی ارائه داده‌اند انتخاب شدند. شکل ۸ نمودارهای ویولونی چهار ایستگاه منتخب که به منظور نشان دادن توزیع فراوانی داده‌ها است ترسیم شده است. در این نمودار داده‌ها روی یک محور قرار گرفته و توسط اندازه ناحیه‌ای که توسط داده‌ها ایجاد می‌شود می‌توان به فراوانی هر بخش از داده‌ها پی برد. در حالت کلی این نمودارها، نمودارهای اصلاح شده نمودار جعبه‌ای هستند که می‌توان در آن چندین نقطه اوج و توزیع در داده‌ها را نشان داد. با توجه به شکل ۸ می‌توان مشاهده کرد که برای شهر بناب مقدار حداقل، میانه و حداکثر داده‌های مشاهداتی به ترتیب برابر با $0/01$ و $46/65$ و $46/34$ هستند. همچنین، برای شهر تبریز مقدار حداقل، میانه و حداکثر داده‌های مشاهداتی به ترتیب برابر با $18/02$ و $38/88$ است. همچنان، برای شهر جلفا مقدار حداقل، میانه و حداکثر داده‌های HBA-ANN برابر با $4/25$ و $40/25$ و $40/04$ است. همچنان، برای شهر سرهنگی مشاهداتی به ترتیب برابر با $21/01$ و $6/03$ و $21/04$ است. همچنان، برای شهر هریس مقدار حداقل، میانه و حداکثر داده‌های HBA-ANN برابر با $25/02$ و $52/75$ و $6/07$ است. همچنان، برای شهر عجب شیر مقدار حداقل، میانه و حداکثر داده‌های HBA-ANN برابر با $7/34$ و $52/75$ و $6/07$ است. همچنان، برای شهر چاراویماق مقدار حداقل، میانه و حداکثر داده‌های HBA-ANN برابر با $8/39$ و $52/75$ و $6/07$ است.

جدول ۳- معیار عملکرد مدل شبکه عصبی مصنوعی
Table 3- Artificial neural network model performance evaluation criteria

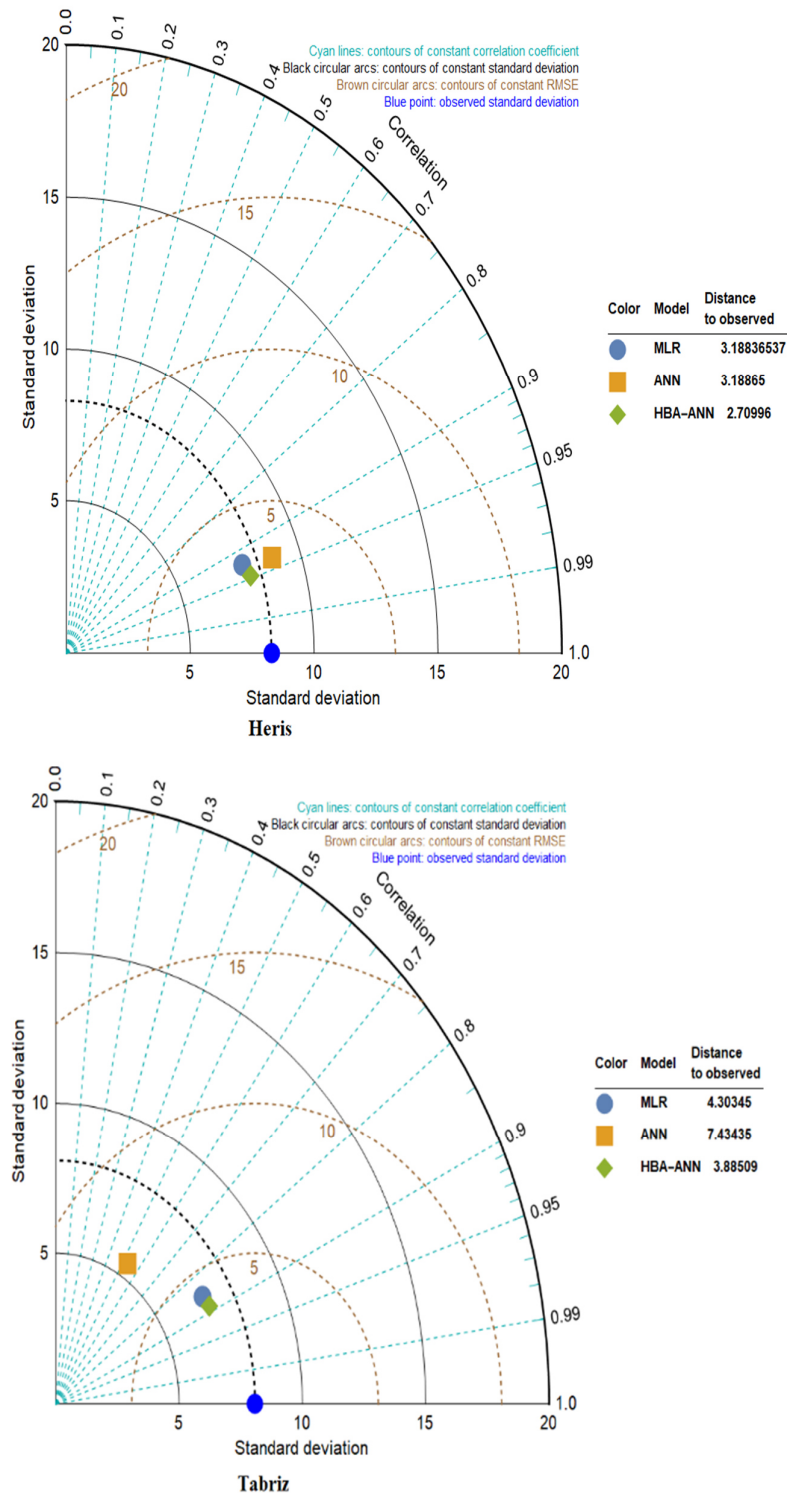
معیارهای ارزیابی عملکرد					ایستگاه
MBE	NRMSE	NSE	RMSE	R	
4.25	0.1	0.66	5.51	0.78	جلفا
-3.17	0.09	0.7	4.7	0.78	اهر
-3.02	0.18	0.61	5.35	0.53	تبریز
2.91	0.12	0.95	4.68	0.75	سهند
3.01	0.14	0.51	5.82	0.62	سراب
4.97	0.21	0.68	6.81	0.63	کلیبر
-2.98	0.08	0.64	4.01	0.9	مراغه
-2.48	0.07	0.71	3.75	0.81	میانه
5.78	0.19	0.76	6.84	0.84	مرند
-2.61	0.12	0.61	4.93	0.52	ورزقان
3.1	0.19	0.63	5.78	0.88	شیستر
2.13	0.12	0.79	4.1	0.76	ملکان
3.14	0.15	0.61	5.87	0.8	خسرو شهر
-2.98	0.12	0.71	4.3	0.86	بستان آباد
-2.2	0.08	0.78	3.09	0.93	هریس
2.16	0.07	0.79	3.64	0.73	عجب شیر
-4.5	0.17	0.88	6.1	0.75	بناب
2.91	0.13	0.67	4.65	0.67	چاراویماق

و $2/7$ ، $3/8$ ، $3/8$ -HBA-ANN و ANN، MLR برای شهر تبریز فاصله مدل‌های HBA-ANN و ANN، MLR بهترین ترتیب با $4/3$ ، $7/43$ و $3/88$ است. با توجه به این که در شکل ۹ مدل هیبریدی HBA-ANN، کمترین فاصله را با نقطه آبی (مقادیر مشاهداتی) داشته، مدل مذکور به عنوان مدل برتر انتخاب شد و مدل شبکه عصبی مصنوعی (ANN) عملکرد ضعیفی ارائه دادن. همچنین، با توجه به شکل ۱۰ از نمودار خطای نسبی به منظور ارزیابی بیشتر مدل هیبریدی استفاده شد. همان‌طور که مشاهده می‌شود میزان خطای نسبی در شهر بناب کمترین و در تبریز بیشترین مقدار را دارد که نشان‌دهنده عملکرد ضعیف مدل هیبریدی در این شهر است.

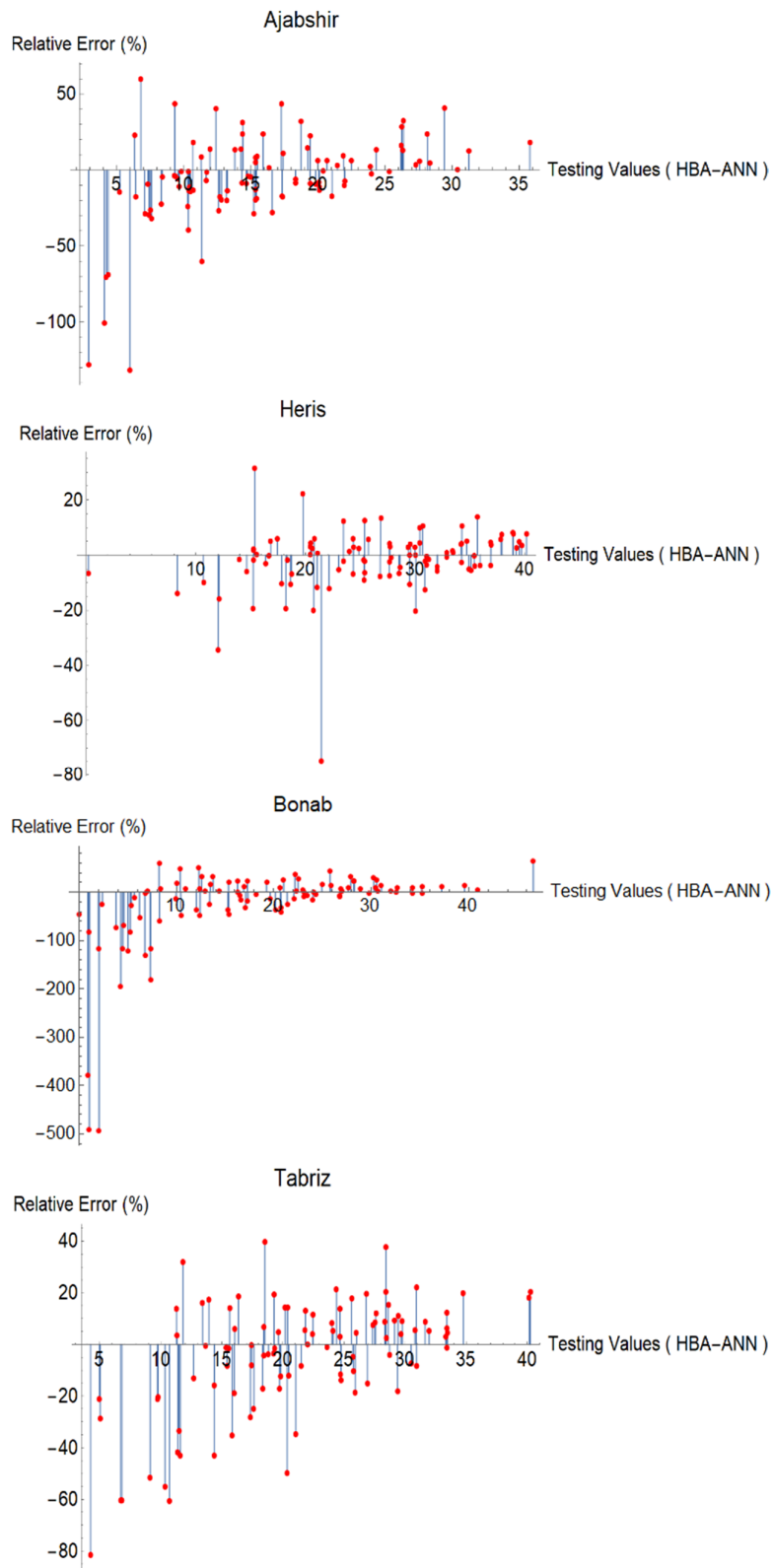
داده‌های مشاهداتی به ترتیب برابر با صفر و $14/98$ و $35/8$ و $3/8$ -HBA-ANN، میانه و حد اکثر داده‌های حاصل از مدل هیبریدی به ترتیب برابر با $2/18$ و $15/34$ و $1/30$ است. پس در حالت کلی می‌توان نتیجه گرفت که مدل هیبریدی HBA-ANN با توجه به نزدیکی به نمودارهای ویولونی داده‌های مشاهداتی، به عنوان مدل برتر انتخاب شد. همچنین، در شکل ۹ نمودارهای دیاگرام تیلور برای دو ایستگاه منتخب را نشان می‌دهند. به منظور ارزیابی و مقایسه مدل‌ها در دیاگرام تیلور، هرچقدر ضربی همبستگی، به عدد یک نزدیک‌تر و ریشه میانگین مربع خطاهای عدد کمتری را نشان دهد، مدل دقیق‌تر را خواهد داشت. همچنین، در نمودار تیلور شهر هریس فاصله مدل‌های



شکل ۸- نمودار ویولونی چهار ایستگاه منتخب منطقه مورد مطالعه برای قسمت آزمون
Figure 8- Violin diagram of four selected stations of the study region for the test section



شکل ۹- دیاگرام تیلور دو ایستگاه منتخب منطقه مورد مطالعه برای قسمت آزمون
Figure 9- Taylor diagram of two selected stations of the study region for the test section



شکل ۱۰- نمودار خطای نسبی برای چهار ایستگاه منتخب منطقه مورد مطالعه برای قسمت آزمون
Figure 10- Relative error diagram for four selected stations of the study region for the test section

همبستگی 0.95 ، ریشه میانگین مریعات خطای $1/0^3$ و ضریب نش-ساتکلیف 0.92 دقت قابل توجهی نسبت به مدل‌های MLR با ضریب همبستگی 0.90 ، ریشه میانگین مریعات خطای $2/45$ و ضریب نش-ساتکلیف 0.95 و ANN با ضریب همبستگی 0.61 ، ریشه میانگین مریعات خطای $3/65$ ، ضریب نش-ساتکلیف 0.95 و خطای جذر میانگین مریعات خطای نرمال‌سازی شده $0/03$ میانگین قدرمطلق خطای نسبی $0/81$ در مدل‌سازی مکانی بارش در قسمت آزمون دارد و به عنوان مدل پیشنهادی انتخاب می‌شود. به عبارت دیگر مدل هیبریدی موجب ارتقاء 5% درصدی مقدار RMSE، 54 درصدی مقدار NRMSE و 69 درصدی مقدار MBE در شبکه عصبی مصنوعی شد.

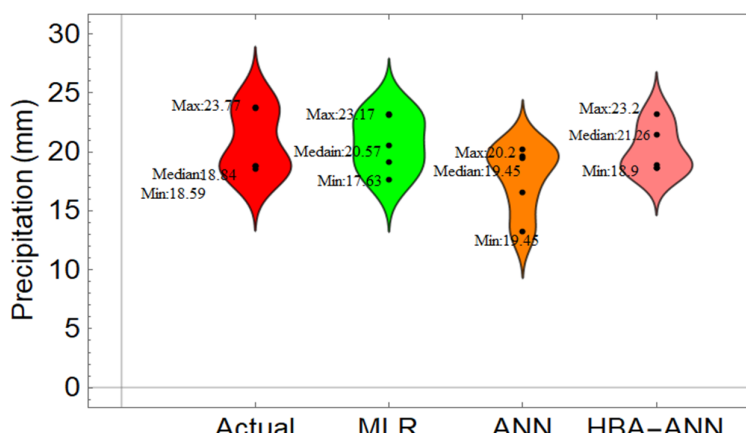
برای مدل‌سازی مکانی بارش، از مختصات جغرافیایی ایستگاه‌ها، شامل طول، عرض و ارتفاع جغرافیایی به عنوان متغیر ورودی و از میانگین بارش ماهانه به عنوان متغیر خروجی استفاده می‌شود. از بین 18 ایستگاه، 7 درصد ایستگاه‌ها (13 ایستگاه) برای بخش آموزش و 30 درصد ایستگاه‌ها (چاراویماق، بناب، مرند، بستان‌آباد و اهر) برای بخش آزمون انتخاب شدند. نحوه انتخاب ایستگاه‌ها در بخش آزمون به گونه‌ای است که کل محدوده منطقه مورد مطالعه را شامل شوند. جدول 5 عملکرد هر سه مدل بر اساس معیارهای ارزیابی R، NSE، RMSE و NRMSE و MBE را نشان می‌دهند. براساس نتایج جدول 5 می‌توان نتیجه گرفت که مدل هیبریدی HBA-ANN با ضریب

جدول ۵- معیارهای ارزیابی عملکرد مدل شبکه عصبی و رگرسیون خطی چندگانه و مدل هیبریدی HBA-ANN
Table 5- Neural network and multiple linear regression and HBA-ANN performance evaluation criteria

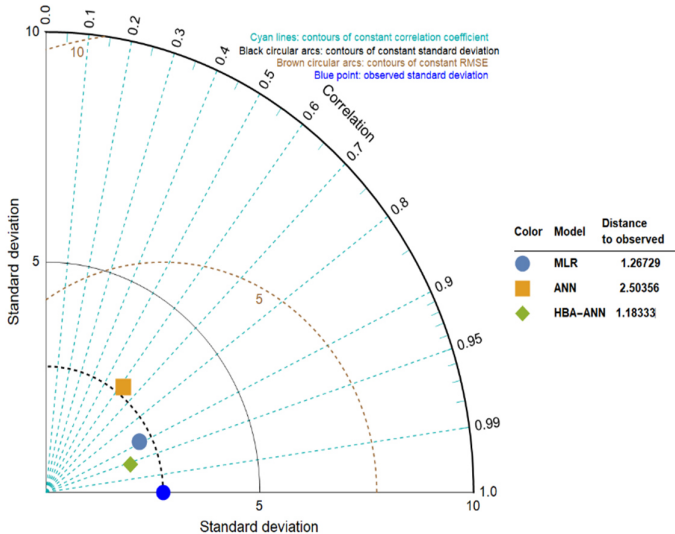
معیارهای ارزیابی عملکرد					مدل
MBE	NRMSE	NSE	RMSE	R	
2.05	0.08	0.92	3.65	0.61	شبکه عصبی مصنوعی (ANN)
1.64	0.05	0.95	2.45	0.9	رگرسیون خطی چندگانه (MLR)
-0.81	0.03	0.92	1.03	0.95	مدل هیبریدی HBA-ANN

فاصله مدل‌های ANN، MLR و HBA-ANN به ترتیب برابر $1/26$ ، $1/5$ ، $1/18$ است. با توجه به این که در شکل 12 مدل هیبریدی HBA-ANN، کمترین فاصله را با نقطه آبی (مقادیر مشاهداتی) داشته، همچنان مدل مذکور به عنوان مدل برتر انتخاب شد. همچنین مدل شبکه عصبی مصنوعی (ANN) و رگرسیون خطی چندگانه (MLR) عملکرد ضعیفی ارائه دادند. با توجه به شکل 13 از نمودار خطای نسبی، به منظور ارزیابی و دقت بیشتر و کامل‌تر مدل هیبریدی استفاده شد. با توجه به مقدار کم داده‌ها، به منظور ترسیم نمودار مذکور از داده‌های مرحله آموزش و آزمون استفاده شد.

در این پژوهش، به منظور مقایسه و ارزیابی مدل‌ها و انتخاب بهترین مدل به منظور مدل‌سازی مکانی بارش، از نمودار ویولونی و دیاگرام تیلور استفاده شد. با توجه به شکل 11 می‌توان مشاهده کرد که برای مدل‌سازی مکانی مقدار حداقل، میانه و حداقل داده‌های مشاهداتی به ترتیب برابر با $18/84$ و $18/84$ و $23/77$ و مقدار حداقل، میانه و حداقل داده‌های حاصل از HBA-ANN برابر با $18/9$ و $21/26$ و $23/2$ است که مدل هیبریدی HBA-ANN با توجه به نزدیکی به نمودارهای ویولونی داده‌های مشاهداتی، به عنوان مدل برتر انتخاب شد. همچنین، در نمودار تیلور مدل‌سازی مکانی مشاهده می‌شود

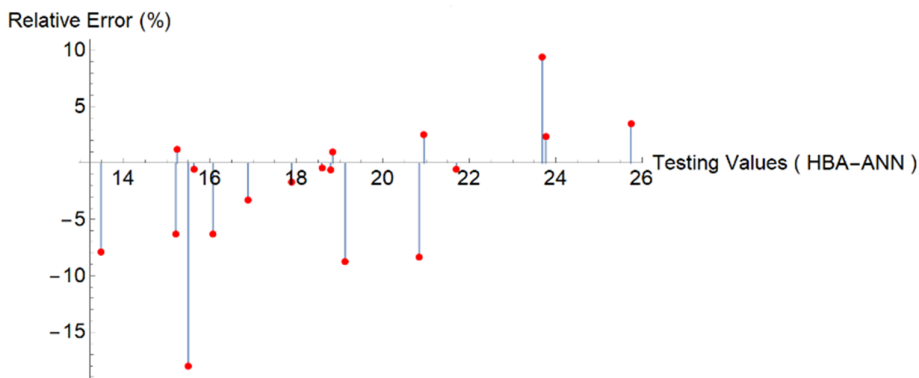


شکل ۱۱- نمودار ویولونی داده‌های مشاهداتی و داده‌های مدل برای قسمت آزمون
Figure 11- Violon diagram of observation data and model data for the test section



شکل ۱۲- دیاگرام تیلور برای مدل‌های مورد استفاده برای قسمت آزمون

Figure 12-Taylor diagram for the models used for the test section

شکل ۱۳- نمودار خطای نسبی مدل هیبریدی برای قسمت آموزش و آزمون
Figure 13- Relative error diagram of the hybrid model for training and test section

ANN استفاده شد. طبق نتایج به دست آمده، مجدداً مدل هیبریدی HBA-ANN به عنوان مدل برتر انتخاب شد. در حالت کلی می‌توان به این نتیجه رسید که الگوریتم HBA موجب ارتقاء عملکرد شبکه عصبی شده است.

با توجه به این که در این پژوهش به مدل‌سازی زمانی- مکانی بارش در ۱۸ ایستگاه هواشناسی استان آذربایجان شرقی توسط مدل‌های ANN و مدل هیبریدی HBA-ANN پرداخته شد و ضمن ارزیابی نتایج و بررسی دقیق مدل‌های مذکور مدل هیبریدی HBA-ANN به عنوان مدل پیشنهادی انتخاب شد. در پژوهشی، Zhou et.al.(2023) برای پیش‌بینی دمای هوا در گرم‌ترین و سردترین مناطق جهان از مدل‌های شبکه عصبی مصنوعی، الگوریتم ژنتیک، و مدل شبکه عصبی مصنوعی هیبرید شده با الگوریتم قدرتمند HBA استفاده شد. طبق نتایج به دست آمده از معیارهای ارزیابی به برتری مدل هیبریدی Saroughi et al. (2023) اشاره شده است. در پژوهش دیگر، HBA-ANN به منظور پیش‌بینی سطح آب زیرزمینی دشت شسبتر واقع در شمال غرب ایران از مدل‌های شبکه عصبی مصنوعی، رگرسیون خطي چندگانه، شبکه عصبی مصنوعی و هیبرید شبکه عصبی مصنوعی و الگوریتم گورکن عسل‌خوار پرداخته شد. در مرحله اول برای مدل‌سازی زمانی ۷۰ درصد ابتدای داده‌های

۴- نتیجه‌گیری

بارندگی، یکی از مهم‌ترین عاملی است که چرخه هیدرولوژی را به طور قابل توجهی تغییر می‌دهد. از این‌رو، مدل‌سازی و برآورد این متغیر مهم، دارای اهمیت فراوان است. در پژوهش حاضر، به مدل‌سازی زمانی-مکانی بارش ماهانه استان آذربایجان شرقی طی بازه زمانی ۱۹۹۶-۲۰۲۲ با استفاده از سه روش رگرسیون خطي چندگانه، شبکه عصبی مصنوعی و هیبرید شبکه عصبی مصنوعی و الگوریتم گورکن عسل‌خوار پرداخته شد. در مرحله اول برای مدل‌سازی زمانی ۷۰ درصد ابتدای داده‌های

مشارکت نویسنده‌گان

کیمیا زهساز؛ مفهوم‌سازی، انجام تحلیل‌های نرم‌افزاری/آماری، نگارش نسخه اولیه مقاله؛ صابرہ دربندی؛ راهنمایی، ویرایش و بازبینی مقاله، کنترل نتایج؛ احسان میرزانی؛ مفهوم‌سازی، تحلیل‌های آماری و نرم‌افزار.

منابع

- پورصالحی، فاطمه، شهبیدی، علی، و خاشعی سیوکی، عباس (۱۳۹۸). مقایسه مدل‌های درخت تصمیم M5 و الگوریتم نزدیک‌ترین همسایگی K در پیش‌بینی بارش ماهانه (مطالعه موردی: ایستگاه سینوپتیک بیرجند)، آبیاری و زهکشی ایران، ۳(۵)، doi: 20.1001.1.20087942.1398.13.5.9.3. ۱۲۹۵-۱۲۸۳
- صدمیان‌فره، سعید، و اسدی، اسماعیل (۱۳۹۶). پیش‌بینی نمایه خشکسالی SPI به روش‌های رگرسیون بردار پشتیبان و خطی چندگانه. *حقایق منابع آب و خاک*، ۶(۴)، ۱۶-۱. doi: 20.1001.1.22517480.1396.6.4.1.4
- معروفی‌نیا، ادریس، شرافتی، احمد، عقری، هیراد، و حستزاده، یوسف (۱۴۰۱). پیش‌بینی جریان رودخانه کورکور سر نوشهر با استفاده از مدل هیبریدی هوش مصنوعی با رویکرد محاسبات نرم. *مدل‌سازی و مدیریت آب و خاک*، ۳(۱)، ۱۹۱-۱۸۱. doi: 10.22098/mmws.2022.11657.1150
- میرزانی، احسان، ملک احمدی، حسین، شاه‌محمدی، یادگار، و ابراهیم‌زاده، علی (۱۴۰۰). تأثیر موجک بر افزایش دقت مدل‌های تخمینی در مدل‌سازی بارش - رواناب. *مدل‌سازی و مدیریت آب و خاک*، ۳(۱)، ۷۹-۶۷. doi:10.2209/mmws.2021.9335.1035
- واحدی، نیلوفر، مشایخی، علیرضا، و قرمز چشم، باقر (۱۴۰۲). بررسی ارتباط میان خشکسالی کشاورزی و هواشناسی در شمال غرب ایران با استفاده از شبکه عصبی پرسپترون چندلایه. *مدل‌سازی و مدیریت آب و خاک*، ۳(۳)، ۱۶۳-۱۷۹. doi:10.2209/mmws.2021.9335.1035

References

- Almodfer, R., AbdElaziz, M., Abualigh, L., Mudsh, M., Shahzad, K., & Issa, M. (2022). Improving parameter estimating of fuel cell using honey badger optimization algorithm. *Frontiers in Energy Research*, 10, 875332. doi:10.3389/fenrg.2022.875332
- Azad, A., Manoochehri, M., Kashi, H., Farzin, S., Karami, H., Nourani, V., & Shiri, J. (2019). Comparative evaluation of Intelligence algorithm to improve adaptive neuro fuzzy inference system performance in precipitation modelling. *Journal of Hydrology*, 571, 214-224. doi:10.1016/j.jhydrol.2019.01.062
- Beheshti, Z., Firouzi, M., Shamsuddin, S.M., Zibarzani, M., & Yusop, Z. (2016). A new

ایستگاه‌های موجود برای آموزش و ۳۰ درصد انتها بی‌داده‌ها برای آزمون انتخاب شدند. با توجه به نتایج بدست آمده شاهد برتری مدل هیبریدی HBA-ANN در همه ایستگاه‌ها بودیم به طوری که در ایستگاه هریس مدل هیبریدی مذکور با R برابر RMSE ۰/۹۶ برابر NSE ۰/۲۵ برابر ۰/۷۹ NSE برابر ۰/۰۴ MBE برابر ۰/۰۶ به عنوان برترین ایستگاه انتخاب شد. در مرحله دوم به منظور مدل‌سازی مکانی، از بین ۱۸ ایستگاه، ۷۰ درصد ایستگاه‌ها (۱۳ ایستگاه) به عنوان آموزش و ۳۰ درصد (پنج ایستگاه) برای آزمون انتخاب شدند. نحوه انتخاب ایستگاه‌های آزمون به صورتی بود که کل گستره محدوده استان را شامل شود. براساس نتایج بدست آمده، مدل هیبریدی NSE با R برابر ۰/۹۵ RMSE برابر ۰/۰۳ HBA-ANN برابر ۰/۹۲ NRMSE برابر ۰/۰۳ MBE برابر با ۰/۸۱ - نسبت به مدل‌های رگرسیون خطی چندگانه با R برابر ۰/۹ RMSE برابر NSE ۰/۴۵ برابر ۰/۹۵ NRMSE برابر ۰/۰۵ MBE برابر ۰/۶۴ و شبکه عصبی مصنوعی با R برابر ۰/۶۱ MBE برابر ۰/۶۵ NSE برابر ۰/۹۵ NRMSE برابر ۰/۰۸ MBE برابر ۰/۰۵ به عنوان مدل برتر انتخاب شد.

سپاسگزاری

نویسنده‌گان از سازمان هواشناسی استان آذربایجان شرقی که در گردآوری داده‌های لازم یاری کردند، تشکر و قدردانی می‌نمایند.

تضاد منافع نویسنده‌گان

نویسنده‌گان اعلام می‌دارند که هیچ‌گونه تضاد منافعی در خصوص نگارش و انتشار مطالب و نتایج این پژوهش ندارند.

دسترسی به داده‌ها

تمامی داده‌های بدست آمده در مقاله گنجانده شده و مجموعه داده‌های بیشتر از طریق مکاتبه با نویسنده مسئول در اختیار قرار خواهد گرفت.

rainfall forecasting model using the CAPSO algorithm and an artificial neural network. *Neural Computing Applications*, 27(8), 2551-2565. doi:10.1007/s00521-015-2024-7

Cobaner, M., Citakoglu, H., Kisi, O., & Haktanir, T. (2014). Estimation of mean monthly air temperatures in Turkey. *Computers and Electronics in Agriculture*, 109, 71-79. doi:10.1016/j.compag.2014.09.007

Danende Mehr, A., Nourani, V., Karimi Khosroshahi, V., & Ghorbani, M.A. (2019). A hybrid support vector regression – Firefly model for monthly rainfall forecasting. *International Journal of Environmental Science and Technology*, 16(1), 335-346. doi:10.1007/s13762-018-1674-2

- Diop, L., Samadianfard, S., Bodian, A., Yassen, Z., Ghorbani, M.A., & Salimi, H. (2020). Annual rainfall forecasting using hybrid artificial intelligence model: integration of multilayer perceptron with whale optimization algorithm. *Water Resources Management*, 34(2), 733-746. doi:10.1007/s11269-019-02473-8
- Hossain, I., Rasel, H.M., Imteaz, H.M., & Mekanik, F., (2020). Long-Term seasonal rainfall forecasting using linear and non-linear modeling approaches: A case study for Western Australia. *Meteorology and Atmospheric Physics*, 132(1), 31-141. doi:10.1007/s00703-019-00679-4
- Maroufpoor, S., Bozorg-Haddad, O., & Maroufpoor, E. (2020). Reference evapotranspiration estimating based on optimal input combination and hybrid artificial intelligentmodel. Hybrizidationof artificial neural network with grey wolf optimizer algorithm. *Journal of Hydrology*, 588, 125060. doi:10.1016/j.jhydrol.2020.125060
- Maroufinia, E., Sharafati, A., Abgari, H., & Hassanzadeh, Y. (2023). The streamflow prediction of kurkusar river using hybrid artificial intelligence models with soft computing approach. *Water and Soil Management and Modeling*, 3(1), 181-199. doi:10.22098/mmws.2022.11657.1150. [In Persian]
- Mirzania, E., Malek Ahmadi, H., Shahmohammadi, Y., & Ebrahimzadeh, A. (2021). Impact of wavelet on accuracy of estimated models in rainfall-runoff modeling (Case study: Sufi Chay). *Water and Soil Management and Modeling*, 1(3), 67-79. doi:10.22098/mmws.2021.9335.1035. [In Persian]
- Mohammadi, B., Linh, N.T.T., Pham, Q.B., Ahmed, A.N., Vojtěkova, J., Guan, Y., Abba, S.I., & El-Shafie, A. (2020). Adaptive neuro- fuzzy inference system coupled with frog leaping algorithm for predicting river streamflow time series. *Hydrological Sciences Journal*, 65, 1738-1751. doi:10.1080/02626667.2020.1758703
- Nourani, V. (2017). An emotional ANN (EANN) approach to modeling rainfall-runoff process. *Journal of Hydrology*, 544, 267-277. doi:10.1016/j.jhydrol.2016.11.033.
- Paryani, S., Bordbar, M., Jun, C., Panahi, M., Bateni, S.M., Neale, C.M., Moeini, H., & Lee, S. (2022). Hybrid-basedapproachesfor the flood susceptibility prediction of Kermanshah province, Iran. *Natural Hazards*, 116, 1-32. doi:10.1007/s11069-022-05701-4
- Poursalehi, F., Shahidi, A., & Khashei Siuki, A. (2019). Comparison of decision tree M5 and K-nearest neighborhood algorithm models in the prediction of monthly precipitation (Case study: Birjand SynopticStation). *Iranian Journal of Irrigation & Drainage*, 13(5), 1283-1293. doi:20.1001.1.20087942.1398.13.5.9.3. [In Persian]
- Rawi, M., Abusorrah, A., Al-Turki, Y., Calasan, M., Micev, M., Ali, Z.A., Mekhilef, S., Bassi, H., Sindi, H.S., Sindi, S., & Aleem, H.A. (2022). Estimating of parameters of different equivalent circuit models of solar cells and various photovoltaic modules using hybrid variants of Honey badger algorithm and artificial gorilla troops optimizer. *Mathematics*, 10(7), 1057. doi:10.3390/math10071057.
- Rezaie Adaryani, F., Jamshid Mousavi, S., & Jafari, F. (2022). Short- term rainfall forecasting using machine learning- based approaches of PSO-SVR, LSTM and CNN. *Journal of Hydrology*, 614, 128463. doi:10.1016/j.jhydrol.2022.128463
- Ridwan, W.M., Sapitang, M., Aziz, A., Kushiar, K.F., Ahmed, A.N., & El-Shafie, A. (2021). Rainfall forecasting model using machine learning methods: Case study Terengganu, Malaysia, *Ain Shams Engineering Journal*, 12(2), 1651-1663. doi:10.1016/j.asej.2020.09011
- Samadianfard, S., & Asadi, E. (2017). Prediction of SPI drought index using support vector and multiple linear regressions. *Journal of Water and Soil Resources Conservation*, 6(4), 1-16. doi:10.1007/s40996-023-01068-z. [In Persian]
- Saroughi, M., Mirzania, E., Vishwakarma, D.K., Nivesh, S., Panda, K.C., & Daneshvar, F.A. (2023). A novel Hybrid algorithm for groundwater level prediction. *Iranian Journal of Science and Tecnology, Transaction of Civil Engineering*. doi:10.1007/s40996-01068-z
- Vahedi, N., Mashaiekhi, A., & Ghermezcheshme, B. (2023). Investigation the relation between agriculture and meteorological drought using multilayer perceptron (MLP) neural network in northwest Iran. *Water and Soil Management and Modeling*, 3(3), 163-173. doi:10.22098/mmws.2023.11847.1175. [In Persian]
- Ye, L., Jabbar, F., Abdul Zahra, M.M., & Tan, M.L. (2021). Bayesian regularized neural network model development for predicting daily rainfall from sea level pressure data: *Investigation on Solving Complex Hydrology Problem Complexity*, 1-14. doi:10.1155/2021/6631564
- Zhou, D., Wang, S., Band, S., Mirzania, E., & Roshni, T. (2023). Atmosphere air temperature forecasting using the honey badger optimization algorithm: on the warmest and coldest areas of the world. *Engineering Applications of Computational Fluid Mechanics*, 17(1), 2174189. doi:10.1080/1994060.2023.2174189